

は未だ明確にされたる問題に非ず。

次に Darcy 法則は常に濾過作用の生ずる時に適用し得べきや否や。若し適用の範囲が制限されるとすれば何を以て其適用範囲の制限を標準とすべきやの點に於て疑問を生ずるに至る。

抑も Darcy 法則は或特殊の場合には適合するも一定の制限以外には當て嵌らざるは多くの場合に指摘されたる事實なり。

今其主なる批評を次に概述することとせん。

2. Darcy 式の適用範囲

C. Pfeifke (in Bericht über die Fortführung eines Versuches betreffs Gewinnung eines reinen Brunnenwassers, Berlin 1880) に於て Darcy 式の適用し得る範囲として第一圖を與ふ。本圖は E. Prinz 著 Hydrologie より轉載せるものなり。

之に由て見れば粗砂にては 1 時間に 2 m 即ち 1 秒間に 0.6 mm 迄、甚だ小粒なる砂にては 0.08 mm 迄を以て Darcy 法則の當て嵌まる最大流速となし、夫れ以上にては適用されざるものとなす。

F.H. King (in 10th Annual Report U.S. Geological Survey 1897/1898) にて Principles and conditions of the movement of ground water なる題下にて同様に Darcy 法則の適用範囲を與ふ。

濾過速度 V と濾過傾斜 J との間の關係を圖表にして描けば Darcy 式は此二者は一定の砂と一定の狀態の下にて直線關係となるべきを示す。然れども實際に於て粗砂にては第二圖 (A) の如く上方に彎曲面を向け、細砂にては同圖 (B) の如く凹面向下側に向けたる曲線となる事を示せり。

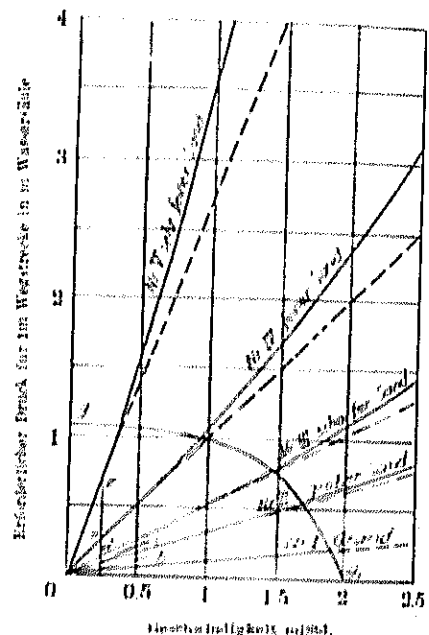
此關係は Pfeifke の與へたる所と相似たれど Pfeifke は粗砂に対する結果は之れを示さずりき。

Ph. Forchheimer (in V.D.I. 1901) にて Wasserbewegung in Boden なる題下にて Darcy 法則の適用範囲を限る多くの場合を示せり。

E. Prinz (其著 Hydrologie に於て) Darcy 法則の成立とは小なる水面勾配にて小なる流速の時に限るとて、勾配としては 1:100~1:3 000 なりとし、それ以上の大なる勾配にては成り立たず、又同裡の粒子にては適用し得ずと明記さる。仍つて普通の構造の土水道濾過床の如きは當然適用し得ずとなす。

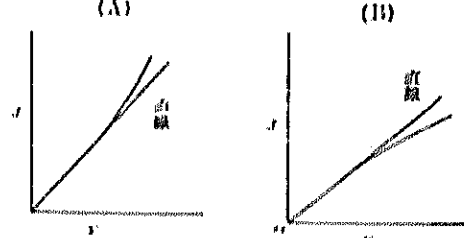
其他 Smrecker の如きは Darcy 法則は全然當て嵌らずとて正面より反對し V.D.I. 1879 にて $J = k \frac{V}{g}$ なる式にて濾過作用の流速と J との關係を表はし。且つ k は常數に非ずして V の函數なりとなす。

第一圖



gy... angemerkte Grenze der Gültigkeit des Darcyschen Gesetzes.
Druckkurven für die Sande I-V
(Nach Pfeifke.)

第二圖



K. Terzaghi も亦 King の示せると同様の結果を得たり。同氏は緩く重なりたる砂及密に重なりたるものと兩種にて砂粒は 0.1 mm~1.3 mm に對し 60 回の實驗の結果粒徑が 0.1 mm~0.5 mm ならば $J=0.5 \sim 5.0$ に於て水を上より下に濾過せしむると、下より上に向つて濾過せしむる時との如何を問はず、例外なしに Darcy 法則は成立し、粒徑 0.1 mm 以下及 0.5 mm 以上の時には同法則は成立せずとなす(以上は Terzaghi 著 Erdbau-mechanik による)。F.H. King は前掲の報告書中に於て Darcy の k は土壤粒子の大小空隙率、液體の粘性によりて變ずるものなりと述べ、更に Darcy の法則は Poiseuille 法則に似たるものにて Poiseuille の法則は 1:10 以下の勾配に對しては眞となすを得るも $J=10$ の如き大なる勾配にては成立せずとなす。

第二章 實 驗

1. 實驗の方法

濾過速度に影響を與ふる主なる原因は次の如きものなるにより、成るべく其變化を起す原因を少くし、均一の狀態に於て實驗を行はずば、其結果が有用を置くに足らざるに至るべきを以て、小規模にて行ふ方却つて可なりと信じ、小規模の實驗裝置によれり。

尙ほ砂層の厚さを大にせざりし理由は後に第三章の 1. に記するが如き困難を實驗に與ふるによるものなり。

一般に濾過速度に影響を及ぼす原因は次の如き諸因より起るものとなさる。

(a) 砂粒の大きさ、(b) 形狀、(c) 層狀、(d) 空隙率、(e) 砂粒の混合割合、(f) 溫度。

(a) 砂粒の大きさ

砂粒の細粗が濾速に大關係ある事は例に理論的にも實驗的にも示されたる所にして、其濾過率たる Darcy 式の k は砂粒の直徑 d の直徑によりて増減すると、さるゝ理由は Slichter 教授の説導されたる理論的證明によりて示され又實驗的には Allen Hazen の指示されたる所の如し。

著者の實驗に於ては前述の如く常に均一の狀態にある砂に就て何人が實驗を行ふも均一の結果を齎すが如きものたるを要するとの理由に沿き成るべく均一の大きさのものに就て實驗をなす事とし。篩別法によりて篩別したる比較的均一の大きさを有する砂にて實驗を行ひたり。

(b) 形 狀

實驗に供したる砂は海濱の砂にて比較的稜角の少なきものなり。

(c) 層 狀

自然の地盤内の砂に於ては其積み重なりの狀態が特殊のものあり、例へば河流又は海流の流れの方向が自然に一定されある場合に生じたる層又は風、氷河による砂層の配列原因をなすもの、或は海蝕なる湖沼港灣にて沈澱せるが如き場合等ありて他の狀態は一様なるも砂粒の方向が平行にありや又は不規則に錯綜せるやにて異るものあり。

本實驗に於て砂層は後に記するが如く、水面にて噴き上げたる砂が自然に沈澱して落着くに委する方法によれり。

(d) 空 隙 率

空隙率の大小は濾過する水の通路が廣きか狭きかを示すものにて、廣ければ濾過の抵抗少なくして狹ければ之れに反するは明かなり。今 p を以て容積空隙率とするに濾過速度が p の如何なる函數にて表はさるゝやは未だ確證なし。本問題に就ては將來大に研究を要する所なるべし、次に現今まで發表され居る諸説を示さん。

(1) Slichter 教授は 10th Annual Report U.S. Geological Survey に於て次表を與ふ。

$p = 0.26$	0.28	0.30	0.32	0.34	0.36	0.38	0.40	0.42	0.44	0.46	0.47
$c = 84.3$	65.9	52.5	40.5	34.7	26.5	24.1	20.8	17.3	14.8	12.8	11.4

而して Darcy's $k = \frac{H}{t}$ (3)

(口) J. Kozeny 教授は Wasserkraft und Wasserwirtschaft, 1927 に於て次式を與ふ。

$$k \propto \frac{p^3}{(1-p)^2} (4)$$

同誌 1929 に Dr. J. Donat も本式は正しとて Kozeny 教授に賛同せり。

(ハ) Zeumer は Deutsche Tiefbauzeitung Nr. 30, 1930 に於て

$$k \propto \frac{p^2}{(1-p)^3} (5)$$

なる事を主張し Kozeny 教授に反対の意見を發表せり。

(二) K. Terzaghi 教授は有名なる氏の著書 Erdbaumechanik に次式を發表せり

$$k \propto \frac{(p-0.3)^2}{(1-p)^{1/3}} (6)$$

以上記述せるが如く k が p の影響を受くる事は明かなるも如何なる法則に従ふやは未だ明かならず。

故に本實驗にては成べく p を一定にして實驗する事とし、 k と p との關係に就ては尙ほ將來の研究に俟つものとせり。

p を一定ならしむる爲には、砂層の下方より水脈によりて砂を吹上げ自然の儘に萎ね、落着きたる後實驗を始むる事とせり。此の如くする時には空隙は薄しく大ならんと想像されても決して然らざるは實驗中毫も砂層の厚さに變化を認むる事なく、一定の p の値を保つを以て知るを得べし。又同一の大きさの砂にては此方法にて得たる p は般小空隙率に近き値なり。次に斯くの如くにして得たる砂層の空隙率は約 42.3% に當る。之れを測定する方法は後に記述せり。

(e) 濾過速度

砂粒大小混合比の變するに従つて變ずべく Allen Hazen の如きは大小混合の粒子よりなる砂にては主として混合比によりて濾速が支配されるものなりとて所謂有效徑 (effective size) なるものを標準とするが如きを見ても混合比を重要視するの要ある事を知るべし。

本實驗に於ては先づ比較的均一の大きさの粒のものに就て研究し、次で混合比を変化して其影響を知る方研究の順序として當を得たるものとの考の下に混合比に就ては考慮を加へずして、比較的均一の大きさのものに就てのみ實驗せるものなり。而して混合比變化に就ては他日の研究に俟つこととせり。

(f) 溫 度

溫度の影響が濾速に及ぼすは其液の粘性係数が溫度によりて變化するによるものなり。

Poiseuille の式を見れば明かに $k \propto 1/\mu$ なるを示すが故に溫度によりて μ の變化するを示し、其溫度に對し μ の變化する關係は Poiseuille に依れば次の如し。

$$\mu_t = \frac{\mu_0}{(1 + 0.0330 t + 0.000221 t^2)} (7)$$

μ_0, μ_t は夫々 0°C 及 $t^{\circ}\text{C}$ に於ける水の粘度係数を示すものなり。

Darcy は特に k が溫度によりて變化する關係を式にて與へざりしが Poiseuille の式から同氏の式が出でたる

關係上言はずして此内に其意味が含まれ居る事を推察し得。

Allen Hazen は

$$k = C d_w^2 \dots \dots \dots \dots \dots \dots \dots \quad (8)$$

の式中、 C は溫度によりて變化する關係にして次の如くにして表はしたり。

$$k = (0.03 t + 0.7) C_{10} \dots \dots \dots \dots \dots \dots \dots \quad (9)$$

C_{10} は 10°C に於ける (8) 式の C の値なり。又 (8) 式の d_w は Hazen の定義による有效徑なり。(9) 式の t は
開氏の度にて表はしたる水温を示す數にして、本式は Poiseuille の與へたる式 (7) 式を用ひ、單に變形したるに
過ぎず、今其の然る所以を記さんに、(7) 式の $t=10^{\circ}$ とすれば

$$\mu_{10} = \frac{\mu_0}{1.30}$$

故に $1/\mu_t$ にて變ずる k の値は次の如くなるべし

$$\begin{aligned} \frac{1}{\mu_t} &= \frac{1+0.0330 t+0.000221 t^2}{\mu_0} = \frac{1}{\mu_{10}} \cdot \frac{1+0.0330 t+0.000221 t^2}{1.30} \\ \therefore \frac{1}{\mu_t} &= \frac{1}{\mu_{10}} \cdot (0.73+0.025 t+0.00017 t^2) \dots \dots \dots \dots \dots \dots \dots \quad (10) \\ \text{又 } \frac{1}{\mu_t} &= \frac{1}{\mu_{10}} \cdot (0.7+0.03t) \dots \dots \dots \dots \dots \dots \dots \quad (10a) \end{aligned}$$

次に $\frac{1}{\mu_{10}} = C_{10}$ とすれば、任意の溫度 t にては $(0.03t+0.7)$ を乘すれば可なり、之 Hazen の與へたる溫度に對
する補正係数なり。今試に (10) 式と (10a) 式の兩式にて算出したる C_{10} の係數を表記して比較對照せん。

$t^{\circ}\text{C}$	5	10	15	20	25	30
(10) 式	0.850	0.997	1.143	1.298	1.461	1.633
(10a) 式	0.850	1.000	1.150	1.300	1.450	1.600

之によりて見れば (10a) 式を用ふるも實用上同一と見做すを得べく、(10a) 式の方遥かに簡単なるの利點あり。

Slichter も亦 Hazen と同様に (10a) 式の補正を水温の變化に應じて施すべきを示せり。

抑も水の粘性が流速に影響を有するは laminar flow の場合に限り、turbulent flow の場合には、之を考慮せ
ざとも可なる事は顯著なる事實となさる、而して吾人の考へつゝある流れが之等の何れに屬するやを定めたる後
に、始めて溫度に對する補正を施すべきや否やを決定せざるべからず。

然るに Hazen は濾過速度を考る場合には全部に對し前掲の補正を施すべしと判断さるゝ如きことを示し、多
くの技術者は唯之を其基準に用するが如き觀あり。

溫度の關係を濾過速度測定の結果に含ましむることを避けんとすれば、本實驗裝置を恒溫室内に置き、恒溫の水
に就て實驗を行はざるべきからず、然るに此の如き裝置をなすは容易ならざるものあり。

依つて本實驗に於ては實驗に使用する水は最も得易き上水道水を用ひ、成るべく溫度の變化をなさしめざる様
に注意したるに過ぎず。

此點に於て裝置の不完全なるは自ら認むるものなり。實は最初此點を顧慮して濾過裝置を恒溫槽中に設して上
水道水を用ひ濾過試験を行ひたるに、恒溫槽内の溫度が上水道水に比し少しく高きも直ちに砂粒に氣泡の附着する
ことを認め、氣泡は濾過實驗に極めて妨害をなすものなるが故に、到底均一なる結果を得られず、失敗に終れるに
鑑み、寧ろ恒溫槽を使用せず大氣中に於て之を行ふに若かずとの考にて、全部大氣中に於て實驗を行ひたり、其結果
は恒溫槽を用ひたるものに比し均齊なるを知れり。

本實驗を施行せる時の水温は $15.5^{\circ}\text{C} \sim 21.5^{\circ}\text{C}$ にて平均 18°C となすを得べく、實驗中に最も濾速を不齊ならしむる原因是温度の變化に伴ひ或は其他不明の原因より生ずる氣泡に歸するものなるを知れるが、此影響を免れんとせば豫め水中の空氣を除きたる水を濾過せしむべきも、此事も多量の水を使用する本實驗の如きに於ては容易の業に非ず仍て上水道水を其備用ふる事とせり、此點に就ても厳格なる意味に於ては不完全なる實驗なりとの非難を免れざるものなり。但し R. Cohen は Annalen der Physik und Chemie, Vol. XLV, 1893 に於て空氣を除去したる水と、然らざる水との兩者に就て粘度係数の變化を實驗したことあり、其結果は兩者に於て殆も差違あるものならずとの結論を得たり。之を以て見れば温度の變化による空氣が砂層體内に蓄積することが實驗を困難ならしむる最大原因なりと見做すを得べし。

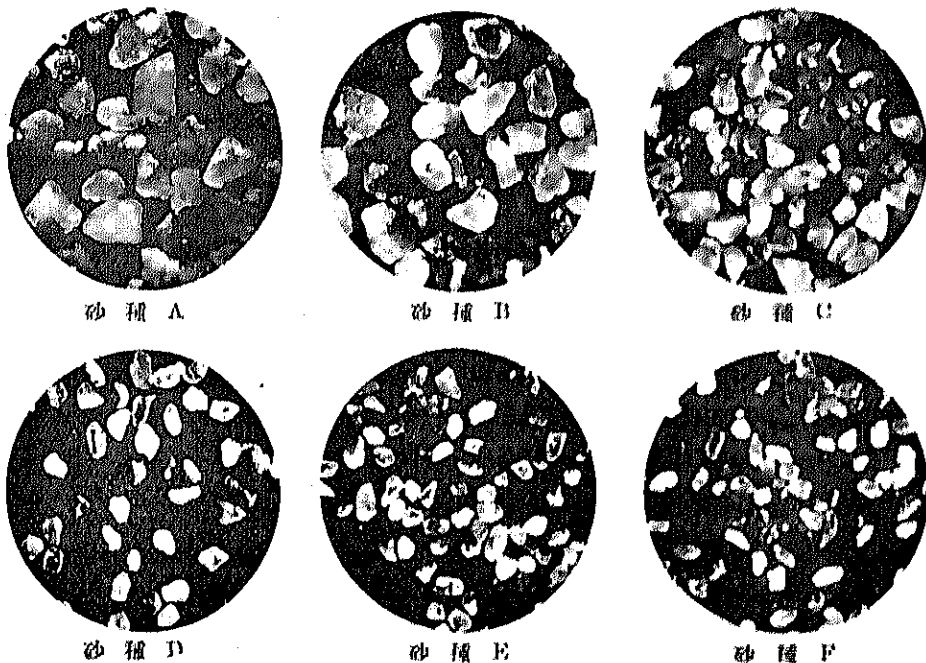
2. 實驗用砂

實驗用沙は仙臺市を距る約 8 km の太平洋に直面する海岸、宮城縣宮城郡漆沼村に於て當時海岸の崖邊に洗はれ居る演沙を採取し、以て河沙の如き泥土微粒を含有する處なき清潔度を有するを期せり。之を Tyler 社製標準篩にて篩別し更に清水に浸し洗滌乾燥して清潔なる容器に納め使用に先立ちて充分に清水中に浸漬したり、斯くて篩別をなすに使用したる篩は持合せのものを以てせるに止まり、之が標定に關し別段の理由を有せず、即ち次の如し。

篩番號	No. 20	30	40	50	65	80	100	100 以下
砂種名別	A	B	C	D	E	F	G	

砂種 A は No. 20 の篩を通過し No. 30 以上に止まるもの、砂種 B は No. 30 の篩を通過し No. 40 以上に止まるもの、以下同様の意義を有す。G 種の砂は No. 100 を通過するもの全部なるが微粉狀の粒子は之を含有せず。

第三圖



3. 砂質、比重、空隙量

砂質は主として硅酸質にして石英、長石、砂鐵等を含有す、而して其比重は平均 2.60 なり。

式中 $W_{w'}$ は實驗の際の砂の固まり加減に対する空隙を充たせる水の重量なり。

各種の砂に就て空隙率を求め次の結果を得たり。

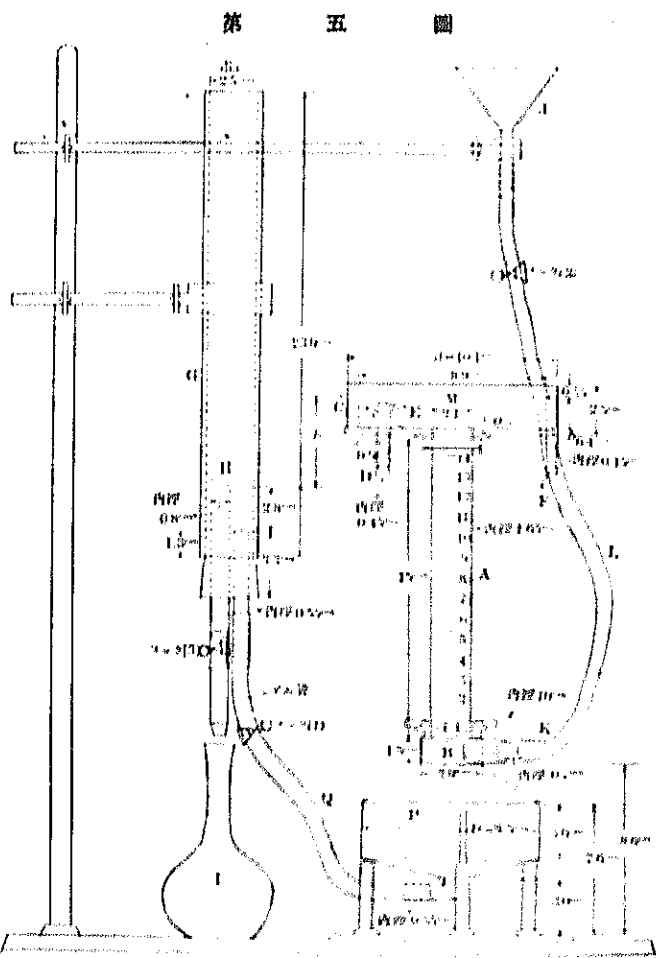
砂種	増加したる 分の目盛	増加したる 容積 (V_t)	W_t	$W_{w'} = W_t - W_1$	空隙率 $(\frac{W_{w'}}{100 + V_t})$	水温
A	10.5 (mm)	1.16 (cc)	224.84 (gr)	43.16 (gr)	42.7 (%)	19.9°C
B	20.0	1.42	220.97	41.70	41.1	19.9
C	22.5	1.59	233.24	42.97	42.2	20.7
D	23.0	1.63	226.39	42.89	42.2	19.8
E	20.0	1.42	227.05	43.98	43.2	19.8
F	17.8	1.26	226.87	43.07	42.6	19.7
平均					42.3	

砂粒の粗粒度は空隙率には無關係なる事は等大の粒子ならば其固まり加減の状態均一なる時に然るべき事にて如上の結果は明かに之を證するに見るべし。

4. 濾過装置

第五圖の A の内徑 1.65 cm、長さ 15cm の硝子筒にて其下端に金屬製の環を筒の外に固着し之にネジをきり、P なる内部空洞をなせる容器の上端の圓筒部のネジと固く水栓に連結するを得。P の上端圓筒部の内側に環状突起を有し、此處に有孔白金板を載せ其上に目の粗き白布を敷き P と A とは此底板を以て界とす。B の下に P の上部圓筒を貫きて K なる枝管を有し L の管を通らね J なる漏斗在其端に連結す。

A の上端も下端と同様に金屬製の環にネジを有し、O なる皿状器と密着するを得しむ。G なる皿には水の流入する口として D を有し、排出する口として F の管を有す加内の水位を一定せしむる爲、破線を以て示せる周壁を薄き板を以て作り上縁邊より浸流を許す、而して D より流入する水は破線を以て示せる E なる漏斗の蓋に衝突して流れ出る事と以て浸流高さの水面の動揺を防ぐ、砂は A の筒の内に入る A 前に充分に水中に浸し任意の厚さに置かる。水は上の方 M より流入し砂層を濾過されて B より P の内に入り、其底の管 Q を通じて G 管



内に噴き出て H なる管の口より流出して I の器に承けらる、故に圖中 h と記されたる水柱の高さが濾過水頭となるなり。此 h の値を精密に測るには H の管の下にあるコック (3) を閉じ自由に G 管内に水を昇らしむれば O 器の水面と等しくなるべきにより H 管の口と此水面との差を求むれば可なり。

コック (1) を開き水を D より流し出す時は濾されたる水は H より流出す、茲に於てコック (1) を閉じコック (2) を開き J に水を他より注入する時は J が C より高ければ砂は下から吹上げられバラバラになる、此時に J を少し振る時は砂に附着したる氣泡は砂粒相互の摩擦により砂粒より離れて水面より脱出す、此の如き作業を繰り返す毎に於て遂に氣泡を全部無くす事を得るが故に其の後はコック (2) を閉じ、砂が沈澱したる後にコック (1) を開き濾過水が容器 I に滴當する時に秒測計を起し I 器の 100 c.c. の目盛に達する時迄の時間を測るなり。

G 管の全部はスタンドに沿ひて上下可能なる故に h を適當に變更し得べく、又 A 管内の砂層の厚さも任意に變更し得べし。

I なる容器は必ずしも之を必要とせざるも最初此器内に濾過水を承けたる事あり、裝置の安定上之を加ふる方利ありとの考にて之を用ひたるに過ぎず。

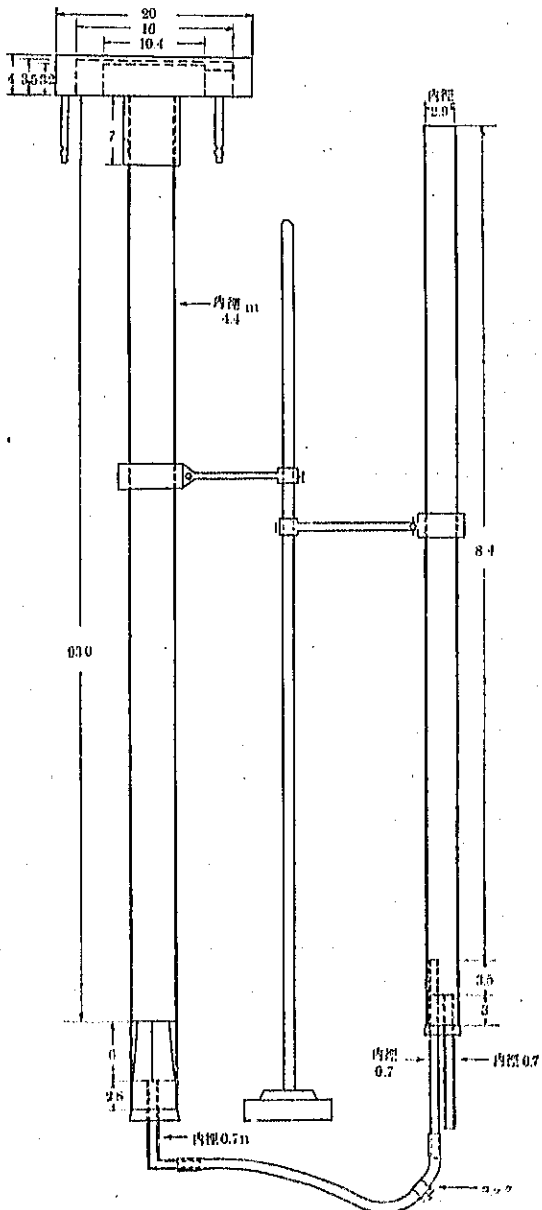
第六圖は砂の代りに散弾を用ひて濾過層を作り實驗せる裝置なり。此場合に於て濾過大なるを以て砂の場合に使用したる如き薄き層にては層厚の變化の模様を明かにするを得ざるが故に特に長き管を用ひたるものにて本論としては副實驗たり。

5. 測定結果

前記の裝置によりて砂種每に砂の厚さを一定にして上を變じ、此狀態にて 5 回の時間を測定し之を記録し、一種の砂に就て厚さを 5 種に變じ h を 5 の異りたる場合に就て測定す。其測定したる 100 c.c. を濾すに要する時間を t 秒とす。之を圖表にて示せば、横軸に $100/t$ をとり縦軸に h を cm にて採り 1 種の砂に對して厚さを異にする毎に一つの曲線を得る事となる。

斯くの如くにして得たる圖表は附圖第一に示すが如し。

第六圖



6. 測定圖表の吟味

測定圖表中の闇點は實測値を其體 plot したものにして砂層の一定なる場合に於ける h の異なる 5 濾過の點が滑かるる曲線上にあるものもあると、少しく不規則に散在するものは平滑曲線にて通す事とせり。

然るべきは A 種の砂にては曲線の凹面が上に向き漸次砂粒が小となるに従ひて直線に近づき殆んど直線が一直線にある場合を生じ、尚ほ砂粒の小となるに及び曲線の凹面は下に向く様になる事は第二圖に示したる King の實驗結果と同様なり。

A 種の砂よりは大なる粒子の場合には曲線の曲り方が一層大ならむとの豫想の下に錯の散彈を以て同様の方法にて實驗をなしたるが其結果は測定圖表にて見るが如く全く豫想を確めたり。

附圖第二は附圖第一を基として誘出したるものにして横軸に r をとり縦軸に h なる砂層の厚さを cm にて表はしたる値をとる。闇點は實測値を圖上に置きたるものにて、各砂種を異にする毎に別々に曲線を得べく、更に濾過水頭を異にする毎に別々の曲線を得べし。今濾過水頭 h を 5 cm, 10 cm, 15 cm の三つの場合に別々曲線を得。本曲線を見るに直角軸に對し双曲線に近似する形を呈するを見る。

抑も Poiseuille の式を見るに

$$Q = \frac{\pi r^4}{8\mu l}$$

なるか故に毛管の断面積 πr^2 にて除し流速 V を求むれば

$$V = \frac{pr^2}{8\mu l} \quad \dots \dots \dots \dots \quad (12)$$

を得べく濾過水頭が不變なれば p は不變なるべく、砂種と砂の固まり加減が一定ならば μ も不變となり、濾過水の溫度一定ならば μ は一定なり。故に次式を得。

$$Vl = \text{const.} \quad \dots \dots \dots \dots \quad (13)$$

仍て Poiseuille の式が成立する時には正しき双曲線を得べき筈なるも、之が其體成立たず多少の補正をなすの要ある場合には双曲線に近似する曲線を得るに過ぎず。附圖第一に h , v と r とが直線にて表はされる事は Poiseuille の式が其體成立せざるを示すものなるが故に此附圖第二にても同様なるべきなり。

次に濾過水頭換算すれば濾過勾配の如何なる飛躍にて r が變化するやを知らんとする爲 r を一定にしたる h と l との關係を圖表として作成する事とせり附圖第三即ち之なり。

本圖表は附圖第二より容易に誘出し得るものにして r を inch 上にて縦軸を引き、之に相當する h と l とを求め之を plot せるものなり。各種の砂に對し各々別の曲線を得。

本圖表を見るに r が小なる時には h と l とは直線的に變化するが故に $J = h/l$ とすれば、 r は J に正比例するも r が大なる場合には J の指數は 1 に非ざる事を示すものなり。

本表より見る時には A 種の砂にありては $r=0.5$ に於て直線にて $r=1.0$ に於ては曲線となる。故に濾過率に於ては如何にと云ふに

$$V = \frac{r}{F}$$

又 $F = 2.27 \text{ sq. cm}$ なるを以て

$$r = 0.5 \text{ cm}^3/\text{sec}/2.27 \text{ sq. cm} \text{ に對し } F = 0.22 \text{ cm/sec}$$

$$r = 1.0 \quad " \quad " \quad " \quad F = 0.44 \text{ cm/sec}$$

なる結果を得。

之を以て見る時には $V=0.22 \text{ cm/sec}$ なる時には laminar flow が生じ $V=0.44 \text{ cm/sec}$ にては turbulent flow を生ずるが如く者へらる。併て此中間に於て此 2 種の流状の限界が存する事を推察し得べし。

斯くの如き關係なるを以て $V=0.22 \text{ cm/sec}$ 以下に非ざれば Darcy 法則は成り立たざるを知るべく、他の種の砂にては本實驗に於ては B, C, D, E 種に對してはすべての v に對し Darcy 法則の如く J に正比例して v は變するを見るも F 種の砂は $v=0.15 \text{ cm/sec}$ 以下となるときは h と t とは直線的とならずして稍々凹面を下に向ける曲線となるを見る、然れども其轉曲の程度は著しからずして實用的には直線と見做して大差なし。

以上 v と J との關係は前に附圖第一にて大略察知し得る事實なるが V の小なる時には A 種の砂にてても亦 V が J に正比例するを示すものにて從來 King の示せるが如く最初 V の小なる 2 觀測を圖示して圖上にて是等 2 點を結ぶ直線上に他の V の大なる場合の點が位せざるによりて Darcy 法則が成立するとせざると判別するものとは異りたる方法に據れるものなり。更に換言すれば Poiseuille, King 等は v と J とを直交軸に plot し (1) と (2) の 2 點を結ぶ直線上に (3), (4), (5) 等の點の位せざるが故に v と J とは正比例せずと判断せるものなるも著者の旨はんとする所は v 又は V が或る値以下の時には此 v と J との關係が直線的となるも夫れ以上の v 又は V ならば $v \propto J^m$ なる關係を有するに至る事を示す事なり。但し m は斯る場合に於て 1.0 よりは小なり。

之と反対に v 又は V が J に正比例するよりも一層小なる値となる時には

同様に $v \propto J^m$ にて表はさるゝも m は 1.0 よりも大となるものなり。

更に以上の方を念頭に置きて對數方眼紙に v と J との關係を圖表的に記入して得たる結果は附圖第四なり。

附圖第四作成の方法は次の如し。

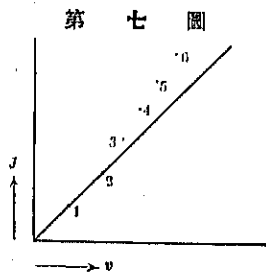
附圖第二の $h=5 \text{ cm}$, $h=10 \text{ cm}$, $h=15 \text{ cm}$ の三つの場合を考へたるが t を縦軸にとりある故に $J = \frac{h}{t}$ の關係より $h=5 \text{ cm}$ に對し $t=5 \text{ cm}$ ならば $J=1.0$ にて $t=5 \text{ cm}$ は横軸にて v を求め得。例へば A 種の砂の $J=1.0$ に對しては $v=2.12 \text{ cm}^2/\text{sec}/\text{F}$ なる故に (1) の點を $J=1.0$ の縦線中に於て $t=0 \text{ cm}$ とすれば $J=\frac{5}{6}=0.833$ にて $v=1.04 \text{ cm}^2/\text{sec}/\text{F}$ となるが如し。次で $h=10 \text{ cm}$ に就ても同様に $J=h/t$ に對し v を求め斯くして求めたる點を (2) 印を附して圖上におく。

更に $h=15 \text{ cm}$ に對しても同様の事を繰返し (3) 印を以て記入す。

多くの J に對して plot したる點は附圖第四に見るが如く殆んど一直線上にあるが如く散在す、然れども J が大となり、 v が大となるに従て凹面向 J 軸の方に向けたる曲線となる事、前に粗砂の場合に於て得たる結果と同様となる。

附圖第四より次の諸項を認むるを得べし。

- (1) 砂種 A に於ては圖上の諸點を通るが如き一直線を通す時は他種の砂に比して困難なり。
- (2) すべての種の砂に就て $h=5 \text{ cm}$, $h=10 \text{ cm}$, $h=15 \text{ cm}$, と h が漸次大なる程列點を結び付くる曲線は順次下向きに轉曲する曲線となるも其轉曲部は h が小なるものは之が大なるものに比して大なり。
- (3) B 種より F 種迄の砂に對し縦横軸に 45° の傾斜をなす直線を通す時は大體に於て下轉曲部の上部に引ける切線となる。之れ v と J とは大體に於て Darcy 法則に従ふ事を示すものなり。
- (4) 然れどもこの曲線と直線との距離の大なるは Darcy 法則の當て候まざるを示すものなり。



(5) Darcy 式の成立するは本圖表より見る時は砂種 A にては當て嵌まざるもの次の場合に當て嵌まると見做し得。

(a) (B) 種より (G) 種までに於て $J=1.0$ 以下に於て成立す

(b) $v = 1.0 \text{ cm}^3/\text{sec}/F$ 即ち $V = \frac{1.0}{2.27} = 0.44 \text{ cm/sec}$ 以下に於ては成立す。唯妙に注意すべきは $h = 5 \text{ cm}$ の場合の諸點が此事實に反する點の多きは砂層の壓力が他の場合に比して小なるため砂層内に於て気泡が濾過作用に妨害を與ふるに歸するならんと察せらる。此事實に就ては別に研究する必要ありとす。

以上記述したる所と第二節の Darcy 式の適用範囲の記事とを比較すれば King, Prinz 等の數字的に制限を與へたる所は未だ明かに定められたるものに非ざして、尙ほ將來の研究に俟つ所多きを知るべし。

7. 濾過率の決定

前記の結果により Darcy の式が成立する範囲内にある砂種と其範囲内に於て濾過率 k を求むる時は次の如き値を得べし。

砂種	粒徑 (mm)	k	
		cm/sec	m/day
B	0.50~0.42	0.41	355
C	0.42~0.307	0.22	101
D	0.307~0.208	0.12	104
E	0.208~0.177	0.07	60
F	0.177~0.149	0.057	49
G	0.149 以下	0.044	38

以上の k の値を得る方法は附圖第四を用ひれば極めて便にして $J=1.0$ の縦線に於ける 45° の斜直線との交點の v を讀みなば V は v/F にて $F=2.27 \text{ sq. cm}$ なるが故に直ちに k の値を得べし。

今参考のため清潔なる砂に就て測られたる k の値と著者の求めたるこの値とを比較するため數例を次に掲げん。

	k (cm/sec)	
川砂 (粒徑 0.1~0.3 mm)	0.25	Prinz 著 Hydrologie
Hamburg 市綫連濾池用砂	0.77	同 上
Berlin 市 Spree 河畔 Opera の基礎工事場	0.251~0.316	Zentralblatt der Bauverwaltung, März 1928
和蘭砂石の砂	0.03	Pennink
0.8~1.0 mm の砂	0.06	Welitschkowsky
1.0~2.0 mm "	0.50	同 上
Ülzen 附近運河の工事場	0.04~0.06	Viktor Schmid Bauteknik 10, April 1931

以上の例は大小の粒子混合せるものに就ての測定ならんが其値甚だ減々なるも、著者の求めたる値と相違すること大ならざるを見得べし。

8. 濾過率 k と濾過細孔直徑との關係

抑も濾過作用が砂層を通して生ずる理由は砂粒間の空隙が存するに基因し、其空隙中最小抵抗の方向をたどりて水が通過するものなるが故に、其一分子が砂層間を通過する道途は直線的にあらずして砂粒を迂回して通るべきも其砂層の厚さと此迂回路の長さの關係は未だ明かならず。

J. Kozeny 教授は既掲の雜誌中に發表されたる所によれば直線的に測りたる砂層の厚さと迂回路との長さの比は 1:2 なる事は多くの實驗によりて定められたる所なりと記さるゝが故に、本論に於ては同教授に従ふ事とせり。

さて今吾人の考へつゝある場合は Darcy 及 Poiseuille の則へたる法則の成立するか如き laminar flow を

なす所の毛細管内の流動なるを以て Poiseuille の式を用ひて各砂種に對し等徑の毛細管が並列したものと考へ其毛細管の直徑を求める。勿論實際の場合には大小不同的毛細管が存在すべきは明かるも大小變化の模様を知るを得ざるが故に、止むを得ず上記の如く理想的毛細管を考ふるものなり。

Poiseuille の式を吾人の今應用せんとする場合に合致せしめんが爲次の如く變形す。

$$Q = \frac{\gamma h n \pi d_v^4 t}{128 \mu l} \quad \dots \dots \dots \quad (14)$$

式中 n は毛細管が砂層横断面に並列されたる數とし、 d_v は毛細管の直徑を cm にて表はす、又 t 秒間濾過されたる全量を Q cm³ とする。

今 p_1 を以て平面積 F に對し毛細管にて止めらる λ 面積率とすれば次式を得。

$$\frac{n \pi d_v^4}{4} = p_1 F \quad \dots \dots \dots \quad (15)$$

従て (14) 式と組合せ

$$d_v^2 = \frac{32 \mu l Q}{\gamma h t p_1 F}$$

本式中の l は實際に水が流る λ 毛細管の長さなるか故に砂層の厚さの 2 倍となるべきものなり。

又 $v = Q/t$ にして、本實験には

$$p_1 F = 0.423 \times 2.27 = 0.90 \text{ sq. cm}$$

なるを以て

$$d_v^2 = \frac{0.4 \mu v}{0.90 \gamma J} = \frac{0.5 \mu v}{\gamma J} \quad \dots \dots \dots \quad (16)$$

今附圖第四を用ひ $J=1.0$ に相當する v を各種の砂に就て求め、各種の砂を實験せる時の溫度の平均値に對して、 μ の値を求むる時は、 d_v の値を各種の砂に對して求むるを得べし。

砂種	溫度 (°C)	μ (gr/sec.cm)
B	19.8	0.01014/g
C	"	0.01014/g
D	18.8	0.01041/g
E	18.2	0.01057/g
F	16.4	0.01107/g
G	15.5	0.01132/g

g は地球の重力による加速度 cm/sec² を以て示す。

d_v の値の B 種の砂に對する値を d_B C 種に對する夫れを d_C 以下同様の記號を用ふるとせば附圖第四より $J=1.0$ に對し v を求め B 種の v を v_B C 種の v を v_C 以下同様の記號を用ふれば次表を得。

砂種	v	0.5μ	$0.5 \mu v = d_v^2$	d_v (cm)
B	$v_B = 0.95 \text{ cm}^3/\text{sec.}^2$	0.0000881	0.0000594	$d_B = 0.0255$
C	$v_C = 0.50$	"	0.0000881	$d_C = 0.0185$
D	$v_D = 0.27$	"	0.0007004	$d_D = 0.0198$
E	$v_E = 0.16$	"	0.0007172	$d_E = 0.0107$
F	$v_F = 0.12$	"	0.0007512	$d_F = 0.0095$
G	$v_G = 0.10$	"	0.0007081	$d_G = 0.0088$

以上の如くして d_v なる毛細管の直徑を算出したる後は V は d_v^2 に正比例する事は前掲 Poiseuille の式にて明かるが故に前記の濾過率 k は d_v^2 に比例する事となる。仍て次式を得べし。

D は滑動電鍵にして電源の一端に接続し AD 上を移動し任意の點に於て白金線と接觸せしむ。測定を行ふに先立ちて砂層用の電導媒質として食鹽の一規定液を調製せり。即ち E. Merck 製純 NaCl の 58.5 gr. を蒸馏水に溶解して 1^l となせり。本實驗をなすに先だちて豫備實驗をなせり。

豫備實驗（其一）硝子管中に砂を置かず、單に底端白金極上に滲過測定の場合と同様に白布を一枚敷き、其上部硝子管中に規定液を充たし、圓形白金極を上下して之と底端白金極との距離を種々に變じ、其間に介在する食鹽水の電氣抵抗を測定せり。測定を行はんには先づ R を適當に擇び、D を移動して滑の最低點を求む、其點の度盛を a cm とし、又實驗溫度 t°C に於ける兩極間の電氣抵抗を W_t とせば

$$W_t = R \frac{100 - a}{a} \dots \dots \dots \quad (18)$$

測定は總て 25°C 附近に於て行ひたる故に其結果を 25°C の抵抗 W₂₅ に換算せり。前掲 Kohlrausch により次式を用ふ。

$$W_{25} = W_t [1 + 0.023(t - 25)] \dots \dots \dots \quad (19)$$

測定は毎回 R を 4 種に變じて行ひ其結果を表記したり。

又一般に液柱の電氣抵抗は断面積 A

に反比例し、液柱の高さ l に正比例するものなるを以て次式を得。

$$R = \frac{l}{A} \dots \dots \dots \quad (20)$$

然るに本實驗に於ては硝子管の直徑は 1.7 cm にして A は 2.27 sq.cm なり、而して兩白金電極板の距離は即ち l なり、次に Kohlrausch に従へば (20) 式の w なる比電氣抵抗は次式にて表はすを得。

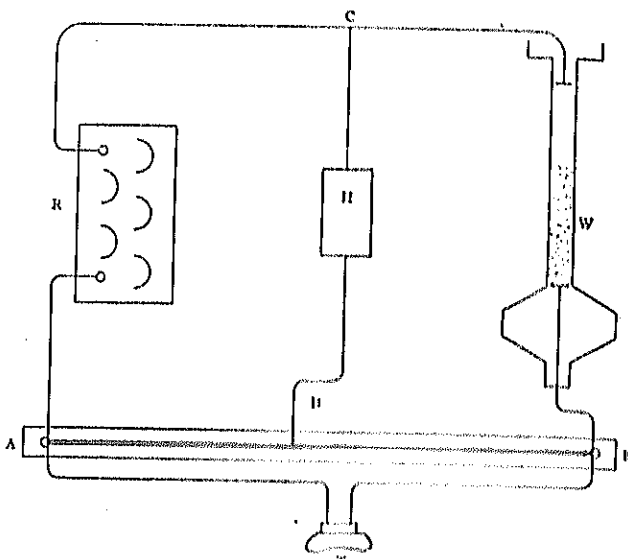
$$w = \frac{1}{0.0743 [1 + 0.023(t - 18)]} \dots \dots \dots \quad (21)$$

即ち 25°C に於ける w を求めんとせば t = 25° として (21) 式を用ふ。實驗したる結果より得たる圖表は第九圖 A 線にて諸點は正しく一直線上に在るを以つて (20) 式より豫期するが如く液の電氣抵抗は液柱の高さに正確に正比例し高さ 1 cm に付き 5.70 ohm なるを知るを得たり。

尚ほ此の直線を高さの倍率延長し其點に於ける抵抗を求めたるに約 1.8 ohm を得たり。之は底端白金極と白布との接觸状態によりて生ずる抵抗と有白金の抵抗なるべし。

| 豫備實驗（其二）滲過測定の際は砂の沈澱狀態を一定にせんが爲に砂を下方より吹き上げて全く混亂せしめ自然沈澱の後測定せる所前述の如きが電氣抵抗測定の際も之と同様の状態となし豫備實驗の第三としては吹上げによりて電氣抵抗に變化を來さざるや否やを検せり。吹上げを 10 回行ひ其度毎の沈澱状態につき電氣抵抗を求めたるに何れも同一にして毫も異る事なかりき（實測表省略）。從つて吹上回数の如何に關せず常に電氣抵抗に對して同一の状態を得るを知れり。

第 八 圖



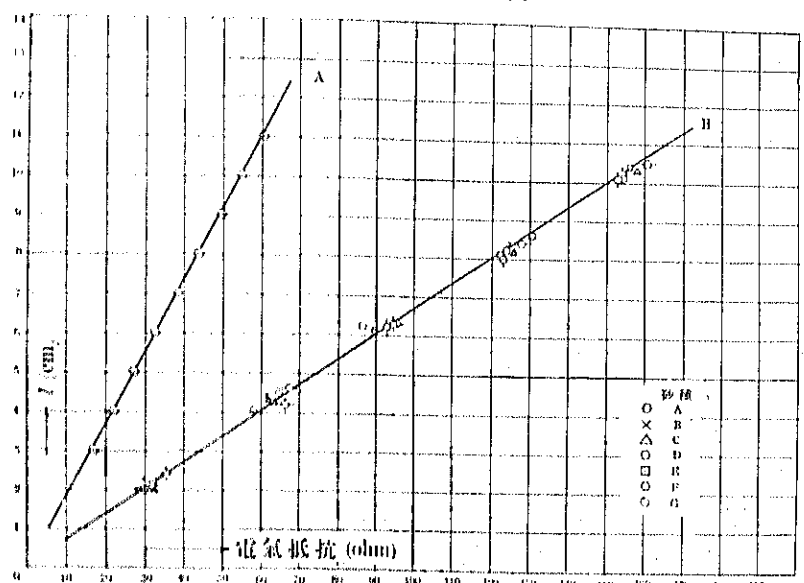
以上にて準備実験を終り次て本実験を行へり。

本実験 砂層につき電気抵抗を測るには豫め規定液に浸し置きたる砂を用ひたり。即ち底端白金極上に白布を敷き、其上に砂を積み規定液にて充分に洗滌したる後、上部の圓形極板を底端より 12 cm の距離に保ちて測定せり。今砂層の厚さを l cm とし其電極抵抗を R ohm とせば兩電極間の全抵抗 W_{25} は次の如し。

$$W_{25} = R + (12 - l) \times 5.70 \text{ ohm}$$

なるを以て、各種の砂の種々の l に對して測定をなし、之を圖上に表記せるは第九圖の B 線なり。本圖表より明らかなるが如く、砂層 1 cm に付き電気抵抗は砂粒の大小に關せず 15 ohm なることを知り得、此結果より接

第九圖



するに空隙率は、類似の沈積状態に於ては、砂粒の大小に關せず不變なるを知る。此可塑性は既に求めたるものなるが電気的にも同一の結論に達し得るは、其別證明となすを得べし。

10. 電氣的に毛細管直徑を測定する實驗

前節に掲げたる理論と實驗を基として、濾過を測定したる際、使用したる各種の砂に就て、食鹽水を用ひて、種々の狀態の下に於て砂層中を通過する電流の受くる電気抵抗を測定したり、其方法は前節と異らざるが故に之を省略す。

測定の結果を一々表記せり（測定表省略）。

前節によりて砂層 1 cm に對する電気抵抗は砂種の如何に關せず、實驗に供したる程度の空隙率の下にては 15 ohm と見做すを得べきが故に次の計算には此値を用ふることとす。

次に前節に於ける (21) 式により食鹽溶液の比電氣抵抗を計算する時は $\alpha = 1/0.0856$ となる。

(20) 式により

$$\frac{1}{R} = \frac{A}{wl}$$

にして A は毛細管の全面積なるを以て

100 c.c. を濾過するに要した時間 $t = 2^m \cdot 21.6^s = 141.6^{\text{sec}}$

$$\therefore v = \frac{100}{141.6} = 0.7 \text{ cm}^3/\text{sec.}/F$$

$$V = \frac{v}{F} = \frac{0.7}{2.55} = 0.274 \text{ cm/sec.}$$

枝管相互の間の距離は大約 10 cm なり、最下枝管の番號を(1)とし番號を順次上方に數ふる事とし、 t 秒の終りに於て次表に示すが如き壓力從つて枝管内水柱高の讀數を得たり。

枝管番號	1	2	3	4	5	6	7
水柱高讀數(cm)	21.0	28.5	37.1	45.0	54.5	63.4	69.0
差 (cm)	7.5	8.6	8.8	8.6	8.9		

番號 7 は損失水頭なき水面の高さなり。

上表によれば各 10 cm の砂層に對し、下より上に向つて各 7.5 cm, 8.6 cm, 8.8 cm, 8.6 cm, 8.9 cm の摩擦損失水頭の必要なる事を示す。即ち上層の方の 10 cm の損失水頭は下層の 10 cm の砂層よりは大なる水頭を要するを知る。

斯くの如き方法によりては濾過を繼續して、20 分間を経過したる後に於て同様に 100 c.c. を濾過するに要する時間と枝管の壓力水頭を測る時は次表の如し。

實験(其二)

枝管番號	1	2	3	4	5	6	7
水柱高讀數(cm)	21.0	28.0	36.3	44.5	53.0	62.3	69.0
差 (cm)	7.0	8.3	8.2	8.5	9.3		

此時の濾過速度は次の如し。

$t = 2^m \cdot 11.4^s = 161.4^{\text{sec.}}$ なるが故に $V = 0.244 \text{ cm/sec.}$

更に第二圖の實驗後繼續濾過を行ひ 20 分を経過したる後に同様の觀測は次表の如き結果を得たり。

實験(其三)

枝管番號	1	2	3	4	5	6	7
水柱高讀數(cm)	20.6	26.6	33.9	41.4	49.4	59.5	69.0
差 (cm)	6.1	7.3	7.5	8.0	10.1		

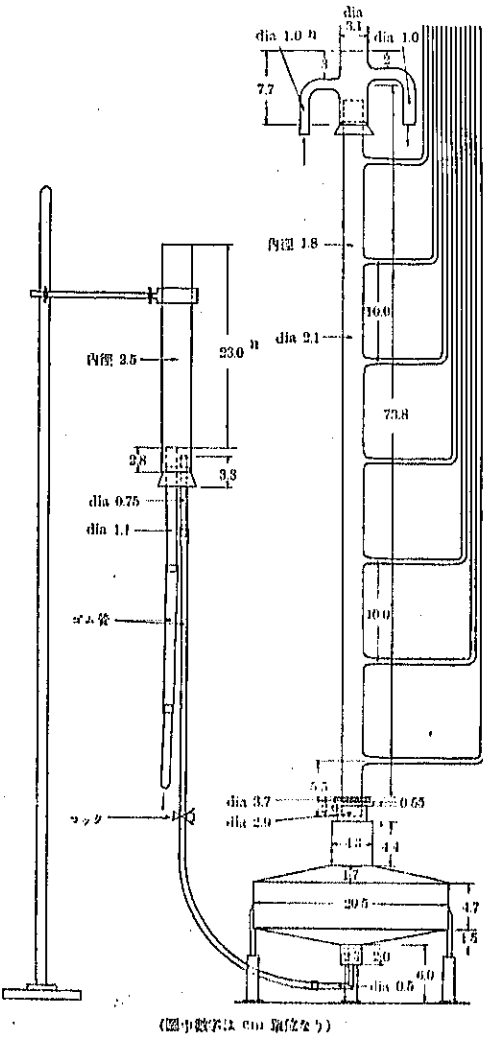
此時の濾過速度は前の如く 100 c.c. に對する t を求むるに $t = 3^m \cdot 10.3^s = 100.3^{\text{sec.}}$ なるが故に $V = 0.205 \text{ cm/sec.}$

實験(其四)

第三圖の觀測後 30 分間を経過したる後同様の方法によりて觀測を行ひ次表を得たり。

枝管番號	1	2	3	4	5	6	7
水柱高讀數(cm)	20.2	25.2	31.4	38.0	45.9	53.7	69.0
差 (cm)	5.0	0.2	6.6	7.0	13.8		

第十一圖



(図中数字は cm 量なり)

此時 100 c.c. 濾過に對する $t=3^m 51.0^s = 231.0^{\text{sec}}$ なるが故に $V=0.17 \text{ cm/sec}$ なり。

以上は 1.5 時間に亘る継続濾過の一例に過ぎざるも、濾過作業が一定不變の定常的狀態にて行はれ居らざることを明かに認むるを得るものなり。

更に其砂層内の壓力が到る處に變化しつゝある模様を檢するに、最高 10 cm の砂層を第一區とし次第に下の方に 10 cm の砂層を考へ之を第二區、第三區等とし一區毎に於ける所要水頭を求むるに其變化は次の如きを見るべし。

	第一回	第二回	第三回	第四回	
第一區	8.9 cm	9.3 cm	10.1 cm	13.8 cm	順次増
第二區	8.6 "	8.5 "	8.0 "	7.9 "	順次減
第三區	8.8 "	8.2 "	7.5 "	6.6 "	同
第四區	8.6 "	8.3 "	7.3 "	6.2 "	同
第五區	7.5 "	7.0 "	6.1 "	5.0 "	同
濾過速度	0.274 cm/sec	0.244	0.205	0.170	

上表を見るに第一區に於ては濾速が次第に減じたるにも拘らず、所要水頭が漸次増すが如き通常狀態と相反する結果を示すを見るべし。而して其何れの區間に於ても濾速と所要水頭とが正比例するが如き現象は起らず。

之或は濾速の大なるに失する結果に非ずやとの疑問あるべきを以て更に濾過水頭を減じて同様の實驗を行へり。

本實驗にては $t=62.0 \text{ cm}$, $h=36.6 \text{ cm}$ にて濾過開始後 5 m, 25 m, 45 m と 20 分毎に讀數をとりたり。

之を實驗其五と名づく。

實 驗(其五)

枝 管 番 號	1	2	3	4	5	6	7
水柱高讀數(cm)	35.5	40.0	46.7	52.6	58.6	64.9	69.0
差 (cm)	5.9	5.8	5.9	6.0	6.3		

本實驗にては 100 c.c. 濾過に對する $t=2^m 47.9^s = 167.9^{\text{sec}}$ なるが故に

濾速 $V=0.233 \text{ cm/sec}$.

實 驗(其六) (25 分 後)

枝 管 番 號	1	2	3	4	5	6	7
水柱高讀數(cm)	35.6	40.9	46.9	52.8	58.8	65.1	69.0
差 (cm)	5.8	6.0	5.9	6.0	6.3		

此時の $t=2^m 50.4^s = 170.4^{\text{sec}}$ なりし故に $V=0.222 \text{ cm/sec}$.

實 驗(其七) (45 分 後)

枝 管 番 號	1	2	3	4	5	6	7
水柱高讀數(cm)	35.9	41.1	47.0	52.9	58.8	65.1	69.0
差 (cm)	5.2	5.9	5.9	5.0	6.3		

この時の $t=3^m 2.4^s = 182.4^{\text{sec}}$ なりし故に $V=0.215 \text{ cm/sec}$.

各實驗に於て t を定むるには 5 回の觀測値を平均したるものなり。

前の如く各 10 cm の一區に於ける所要濾過水頭を表記すれば次の如し。

	第五回	第六回	第七回	
第一區	6.3 cm	6.3 cm	6.3 cm	不 變
第二區	6.0 "	5.9 "	5.9 "	減

第三區(cm)	5.8	6.0	5.9	増後減
第四區(〃)	5.8	6.0	5.9	同
第五區(〃)	5.9	5.3	5.3	漸減
濾速	0.233 cm/sec.	0.222 cm/sec.	0.215 cm/sec.	

以上を見るに濾速は減ずるも第一回に於ては所要水頭不變なるは前の場合の如く同量を濾過するには所要水頭を大ならしめざるべからざることを示す、之前實驗と揆を一にするものなり。

第二回は殆んど不變と稱するも可なるが之も第一回と同様の意義を認むるを得べく。第五區は漸次所要水頭を減ずる事前回の第一回乃至第四回に於て見たると同様なるに、第三區及第四區は一旦増したる後に減じたる事は前に認め得ざりし事なるも、甚だ不規則なる變化が生じつゝあるを認むるを得るなり。

仍て更に濾速を減じて次の如き實驗を繰返したり。此際 $t=62.6 \text{ cm}$ $h=28.0 \text{ cm}$ にて、濾過開始後 12.5 m , 32.5 m , 52.5 m を経過したる際の枝管讀數をとりたり。

實 驗(其八)

枝管番號	1	2	3	4	5	6	7
水柱高讀數(cm)	43.0	47.7	53.0	56.5	60.3	65.0	69.0
差 (cm)	4.1	4.3	4.5	4.3	5.1		

此時の $t=3 \text{ m}$ $52.6 \text{ sec}=232.6 \text{ sec}$ なりしにより $V=0.168 \text{ cm/sec}$.

實 驗(其九) (39.5m 後)

枝管番號	1	2	3	4	5	6	7
水柱高讀數(cm)	43.5	47.5	51.7	56.3	60.9	65.8	69.0
差 (cm)	4.0	4.2	4.6	5.0			

此時の $t=0 \text{ m}$ $1.0 \text{ sec}=301 \text{ sec}$ なりし故に $V=0.100 \text{ cm/sec}$.

實 驗(其十) (52.5m 後)

枝管番號	1	2	3	4	5	6	7
水柱高讀數(cm)	43.6	47.6	51.8	56.3	60.9	65.8	69.0
差 (cm)	4.0	4.2	4.5	4.6	5.1		

此時の $t=0 \text{ m}$ $11.5 \text{ sec}=371.5 \text{ sec}$ なりし故に $V=0.100 \text{ cm/sec}$. 前になせると同様に各區 10 cm 毎に要する水頭を列記して時間的の變化を示さん。

	第八回	第九回	第十回
第一區(cm)	5.1	5.0	5.1
第二區(〃)	4.3	4.6	4.6
第三區(〃)	4.5	4.6	4.5
第四區(〃)	4.3	4.2	4.2
第五區(〃)	4.1	4.0	4.0
濾速	0.168 cm/sec	0.100 cm/sec	0.100 cm/sec

上表を見る時は第五、第六、第七回に於ける結果と殆んど同様にて、従つて濾過水頭としては最上層附近に於て最も多くの水頭が費され、上層の抵抗が増加するに従つて下層の等厚層に於ては濾過水頭は比較的小にして等量の水を濾過するを得る事となるなり。

此實驗に於て知る如く上層より次第に下層に行くに従つて砂層内の壓力が減少するものなるを以て、等温にても尚ほ水中に含有されたる空氣を極めて少量づゝにても放散す、此空氣は氣泡となりて砂粒に附着するを以て益々

水の通過が妨げられて濾過に要する水頭は益々大とならざるべからず。此の如き繼續濾過を長時間に亘りて行ふ時には漸次濾過能力が退し遂に全然濾過が阻止されるに至る事あり。

本實驗に於て見るが如き砂層内の濾過現象が時間的に變化して一定の状態にある事なきは厚き砂層に於て見る所にして、薄き砂層にては比較的變化少きを以て砂層内の濾過水流の性質を研究するには別に小規模の薄き砂層による方一様の結果を得べきにより、本研究に用ひし位の規模のものの方却て大規模の實驗よりは可ならんと信ず。

終に前記10回の實驗の結果を圖示すれば附圖第五を得べし。Forchheimer教授も亦厚き砂層内の諸所の部分にて濾過現象が甚だ不規則なる事を V.D.I. 1901 に示されたり。

2. 周壁の影響が濾過速度に及ぼす關係の有無

此問題は濾過作業に從事する人々に屢々論議される所なるを以て、稍々詳細に實驗研究せんとする。

本實驗を別れて次の二にとす。

1. 定性的實驗

2. 定量的實驗

以下兩實驗につきて記述せんとす。

(1) 定性的實驗

本實驗は硝子管中に砂を入れて、前實驗と同様に砂層の厚さと濾過水頭を變じて、種々の砂に就て本問題の解決を期すべきを適當とす。然るに既に各種の砂と各種の厚さと各種の濾過水頭に就て實驗せる結果を知り、且つ濾過速度が砂層の厚さに逆比して濾過水頭に正比する關係を保つに於て特に數多の異りたる場合を考慮するの要なく、次の如く3種の砂を以て代表せしめ得べし。其代表的の砂としては、前掲實驗の砂の中、C, E 及 G 種をとり。C 種は粗粒にして、G 種は相當に細かく、E 種は其中間の大きさを有す。且つ砂層の厚さは、全部 10 cm として濾過水頭は 25 cm, 50 cm, 10 cm 及 15 cm とす。斯くすれば $J = 0.35, 0.5, 1.0$ 及 1.5 となり、前掲の實驗に於て知る如く、 v は J に正比例する範圍内にあるを以て、色々多くの場合の濾過實驗をなさざるも、より他の場合を類推換算し得るものなり。

定性的の實驗としては、減る一定の濾過實驗と同一の狀態の下にて、砂面の中央部と周壁部とに於て如何様の速度にて水が通過するかを検すれば可なり。併て本實驗にては先づ phenolphthalein の美麗なる赤色液を作りおき、其液の比重は水と等しくなる様に濃度を定めたり。實驗裝置は細き注射針を通して砂面に着色液を流し、砂層を通過する時間を測りたり。此色は砂によりて少しも吸収又は吸着されることなく濾過砂層の底に用ひたる白布にも確も染まらずして之が底に達するや白布に明かに色が漏出するにより容易に濾過速度を知り得るものなり。

其實驗順序は次の如し。

與へられたる砂層の厚さと濾過水頭の下にて濾過速度を測定する方法は前記せる所と同様なり。即ち砂を下側より水によりて吹き上げ自然に沈澱せしめたる後に濾過を行ふ。

而して濾過を測りたる後に着色液を流すべき銛尖を砂面の中心にて之に丁度觸る程度にあし、液を通げる管のコックを開き色を流し、之が底面に緊張されたる白布に赤く顯出する迄の時間を測り、測定表に記入す。次で針の尖端を圓筒硝子管の砂面に接觸せしめ、同様の方法によりて色が白布面に顯出するまでの時間を測り之を測定表に記入す。此際全周を大約 5 等分して、次々に異りたる周壁の點に銛の尖端をあてる様に移動す。又着色せざる水のみの濾速は其間に時々之を測定し記帳す。以上の如くにして砂種 3 種に就て濾過せる結果を見るに中心と

周壁とて 10 cm の砂層を通過する時間は殆んど其差を認めざるが如く小にして強いていへば中央部は周壁よりは稍々速に濾過するゝと解すべくして、一般に盲信するゝと反対の傾向を有するを知る。

本実験をなしたる結果として、從来一般に信じられし如く色素は濾水よりも速に砂層を通過するといふ性質を知り得、而して濾水の平均速度を 1 とすれば色素の夫れは 2 に近き値を有す。此數に付ては曾て Chalon* が發表せる 1.3~2.0 倍と近し、尙ほ茲に附記すべきことは本実験にては着色液の比重は水の夫れと等しくなる様に豫め作れるものなるが故に、此液が重きが故に速に砂層を通過するものとは認め得ざるものなり。

(2) 定量的實驗

本実験にては、硝子筒、トタン筒及セメント筒の 3 種に就て、断面積を基にする砂層を通過する量を測りて比較せる結果、周壁の影響がありとすれば若し周壁の方は中央部より速かなる時には断面積に比し周長の大なる小管は、之に反する大管に比し大なる平均濾速を有すべきなり。而して之に反する場合には、之に反する結果を得べきものなり。今以上 3 種の筒に就て、之等の關係を實驗によりて定めんとす。

實 驗(其一) ガラス筒の實驗

實驗に供せる筒は 3 本にして其直徑は 5 回之を測りて平均せり、其平均直徑と断面積は次の如し。

	管の直徑	断面積
大 筒	4.48 cm	15.90 cm ²
中 筒	2.40 "	4.53 "
小 筒	1.05 "	2.27 "

ガラス筒は比較的精確に均等的直徑を有する如く製作されあるが故に直徑によりて定めたる面積を用ひ得べし。又實驗に供したる砂は深海産の D 種のものなり。砂層の底の構造は細目を有する真鍮網と白布を用ひ、大小管共に同様の構造を有せしむ。

種々の濾過水頭と砂層の厚さに於て、濾速を測りたる結果を表に記入し、標準温度を 10°C とし温度に對する補正は $(0.7 + 0.03 t)$ を用ひ、各管の大きさに従つて每平方厘、毎秒の濾過量を求め、更に $J=1.0$ の時の濾速即ち Darcy の J を求め、各の大きさの異なる管にて J の値を異にするや否やを検せり。其結果次の如し。

番號	大 筒 (cm/sec)	中 筒 (cm/sec)	小 筒 (cm/sec)	注 意	
				番號 1, 2, 3, 4 の一つの結果はすべて 25 回の測定	値の平均なり
1	0.127	0.120	0.120		
2	0.137	0.128	0.121		
3	0.120	0.126	0.121		
4	0.112	0.124	0.120		
平 均	0.125	0.122	0.121		

以上の表を見れば、大中小 3 筒に就て、單位面積に於ての 1 秒時の濾過量は殆んど相等しくして、周壁に沿ひて速に濾過するゝといふよりも反対に周壁の爲に、幾分濾速が阻害されるゝやも知れざるが如く感ぜらるゝも其影響たるや極めて微小なるものにして、實用上には影響なしと認め得る程度のものなり。

實 驗(其二) 鋼鉢筒に就ての實驗

鋼鉢板を以て次の如き 4 種の大きさの異なる筒を作製したり、其底の構造は前實驗と同様に、真鍮網と白布を用ひ、但し其太さ大なる底底を補強する爲、太き鐵線にて極めて目の粗なる網を最下底に用ひたり。此鐵網の爲、濾

* Pring Hydrogic S. 219

速に影響する所あるやも知れざるが、全濾面に比して、此網の占むる面積は小にして、云ふに足らざる程度なるが故に、之を缺く爲に、底部の真鍮網が弛みなば、却つて實驗を不結果に陥らしむるを以て、止むを得ざるに當たるものなり。

4種の異なる大きさ筒の名稱を便宜上次の如く呼ぶこととせり。

名 称	断面積	断面積比
第一號筒	151.0 (cm ²)	9.40
第二號筒	80.4 "	5.00
第三號筒	36.18 "	2.25
第四號筒	16.15 "	1.00

之等の筒は職工をして、注意して製作せしめたるも、均等的の直徑及断面積を與へしむることは困難なるに上り、次の方法により断面積を決定せり。筒を直立せしめて、筒の底部を水密になし、最初砂層底部をなす真鍮網の面まで水を充し、次で實驗の際、砂を入れるべき筒部に水を充し、其深さを測り、此深さに達する迄に筒部に加へテニ水の重量を測りて水の容量を求めより断面積を決定せるものなり。然して前掲の値はすべて5回の測定の平均値を示せり。

砂は深海産のものを用ひ、前に記述せる理由によりて代表的の砂として、C種、E及G種の3種をとれり、唯此場合には筒の大なるものにありては、下より水壓によりて水を攪亂して、自然に沈着する如き状態に砂粒の配置を一定にする事は留意する必要あるが、吹き上げの作業困難なるにより次の方法によれり。筒部に砂を充填し、豫め水に浸漬したる砂を少量づゝ匙にとりて、筒内の水中にて混淵沈定せしめ、更に次の匙を加ふる時も同様に、既に沈定せるものも攪亂して沈定せしむかくする事によりて後に加へられたる粗粒のものは上層に留まることななく前に加へたる細粒のものは、下層に留まらずして上層に来る様になり、恰かも吹き上げたる後に沈着せる場合に近似したる細粒の配置となるべしと考へたるによる。若し然らずとするも本實驗を通して、同様の砂粒配置をなしむる必要上、上記の方法を探れり。其他の實驗上の注意方法及裝置の大要は、既記と異らざるが故に、之を省略することとす。測定の結果は表に記入し、前回と同様に標準温度を10°C、J=1.0として Darcy の k の値を4種の異なる大きさの筒に就て算出し次表を得。

第一號筒	第二號筒	第三號筒	第四號筒	注 意
C種の k 0.197(cm/sec)	0.194	0.202	0.196	掲記の1種の数字
E " 0.073	0.072	0.075	0.078	はすべて10回測定の平均
G " 0.034	0.035	0.032	0.032	

上表を見れば筒の大きさが濾速に及ぼす影響は、之を記むるを得ずと稱するを至當とす。

實 驗(其三) セメント筒を用ふる實驗

既述の如くセメント筒を作り、亜鉛筒と同様に底部を作りて、3個の直徑を異にするものに就て、濾過實驗を行へり。すべて前實驗と同様の経路をとりたり、筒の大きさは次の如し。

名 称	第一號筒	第二號筒	第三號筒
断面積	157.40 (cm ²)	79.98	39.75
断面積比	3.96	1.97	1

實驗に使用したる砂は、深海産のC種、E種及G種の3種なり。

其結果を記すれば次の如し。

	第一號筒	第二號筒	第三號筒	注 意
C 種の L	0.224 (cm/sec)	0.201	0.206	前圖の場合と同じ
E "	0.0081	0.083	0.082	
G "	0.041	0.041	0.042	

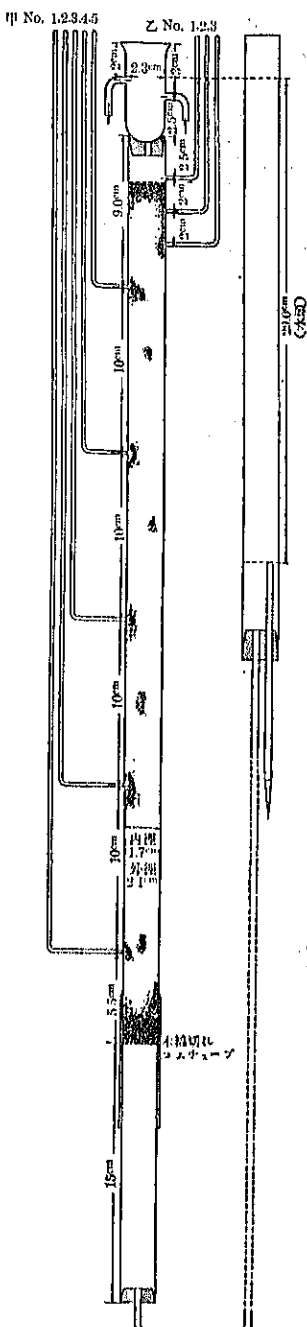
本表を見るも、前実験と同様の結論に達すべく、何れの材質の周壁にても、砂層と接する面に於て、特に速かる濾過を有するものとは断定するを得ず。但し本実験にては砂層の上面に濾過膜を有せざるが故に、實際の濾過池の場合に於て濾過膜と周壁との接面に凹凸を生じ之が爲に周壁に沿ひたる部分が、中央部に於けるよりも速に濾過が行はるべしとの問題は別個に考へらるべきものなり。然れども小規模に行ひたる本論の実験の結果を大なる砂層にも其體應用し得べき論據としては重要なる一結果と稱するを得べしと信ず。

3. 長時間に涉る戸外に於ける濾過

長く濾過を繼續したる場合の砂層内の壓力變化を室内にて行ひたる結果は第三章第一節にて記述せる所なるが、戸外に於て日光を受けたる所にて、長き濾過作用を繼續せば、或は砂層表面に下等生物を生じ、濾過膜の成生することあるべきかとの豫想の下に、濾過実験を行ひたり。此際實験に用ひたる水は上水道管より導きたり。上水中には生物の種子、胞子等を含まざる爲に更に膜様のものは生ずることなかりしが、濾過作用は漸次減退するを見る。之砂層内に氣泡を生ずる爲、之に妨げられて、水は能く濾過されざるによる。此現象は小管にても屢々見得る所にして、時間の経過と共に濾過力の減退する主なる原因は、實に此處に存するものといふも過言に非ざるが如し、勿論濾過膜を通過する爲には、薄しく濾過水頭を費すことは、明かなる事實なるも、前述の氣泡の影響も相當大なる事は、本実験に於て認め得る如き、濾過膜を生ぜざるにも拘らず、濾過が時間的に著しく減退するを見ることは附圖第六を檢すれば明かに之を知るを得べし。本圖は昭和 6 年 7 月 6 日より同月 21 日に涉る間に第十一圖に示す裝置を用ひて、連續的に濾過を行ひたるものによる。之に用ひたる砂は、仙臺市上水道濾過池に實際用ひつゝあるものなり。附圖第六に示す如く 1 日に 1 回又は 2 回に濾過を測り、且つ各枝管の壓力を測り之を記録せり。

圖表によれば枝管水柱の高さは甚しく不齊にして其原因是明かに硝子管を通して見ゆるものにて、氣泡の存するによるものなり。斯くの如くに、濾過能力の衰へたる砂層に對し、何處か薄しく氣泡の蓄積せる枝管の空氣を除去する時は之に伴ひ砂層内の氣泡も極めて僅少なれど除去される場合あり、或は然らざる場合もありといへども、之が原因となりて、減退したる濾過が回復するを得ぬ。故に 1 枝管の氣泡を除ける場合に、濾過速度を増し、2 枝管ならば更に増加するや明かならん。然れども濾過能力の回復は、其當初の能力には遠せずして、漸次衰退するを見る。

第十一圖



本實驗に於ては第十一圖に於て見る如く、圖の左方には 5 本の枝管を種々の高さより分歧し、且て砂層内の壓力變化の模様を知らんとすること、第一節の實驗と同じ。又右方には 3 本の枝管を分歧せしめたり。其目的は砂層表面に濾過膜が生ずるならば之が後に幾許の濾過水頭を費さるゝやを測らんとするものなり。前記 5 本の枝管を甲と稱し 1 號より 5 號迄の名を附し表記に便せり。同様に上層にある枝管を乙と稱し 1 號より 3 號と呼べり。然れども既記の如く濾過膜は成立せざりしを以て乙號枝管は豫期の目的には何等の用をなさざりしものなり。されど表層附近に於て濾過水頭の大部分が費さるゝ事を示すものにして、濾過膜が存せずとも此結果を見るは、濾過作業に於て特に注目に値する一引領と稱すべきものなり。

上水道の綏遠瀝池に於ても、砂層内に空氣の蓄積する事は既に知られたる所なるが、普通直水作業を長日月に涉りて繼續するゝ其間に、砂層内の空氣を除去するが如き作業を行はざるが故に、瀝池の減退は、常に濾過膜の生ずるに基くものとなすも以上の事實に徴すれば尙ほ大に研究を進めむ。瀝池に於ても、濾過能力の増加をなさしむる方法を講ずる作業方法を得べきものならんかとの信念を著者は有するものなるが、遺憾ながら未だ此を實地に於て調査するの機を有せず。併つて著者の一疑問として記述し、將來本問題を解決の機の有るを得るものなり。

感 謝

本研究實驗をなすに當り、最初より多大なる厚意を以て援助協力をなされ、且つ化學實驗用器具其、產品並並に實驗室を使用する便宜を與へられたる、仙臺高等工業學校教授理學博士河上益夫氏に對し、深甚なる謝意を表す。併せて助手佐藤義治君の熱心なる助力を感謝す。

第十二回編輯委員會

協議事項

1. 第十八卷第十一號討議依頼先決定三件
2. 原稿調査
3. 第十九卷第二號登載論文決定並に第三號論文暫定三件
4. 昭和七年度優秀論文に関する件

以上

原稿調査 (昭和7年12月19日現在)

論説報告

- 25-200 (1) 強度地盤上に置かれた橋の近似計算法 準工 松村 孫治 11.24
103-140 * (2) 水圧隧道の漏水に就て 会工 石井 順一郎 12.2

言文意義

- 2-20 * (1) Theorie der Reste und ihre Anwendungen 準 工 御厨 定文 11.29
12-100 * (2) The Derivation of Influence Equations of 会 工 庄野 卷治 12.6
Statically Indeterminate Structures

彙報

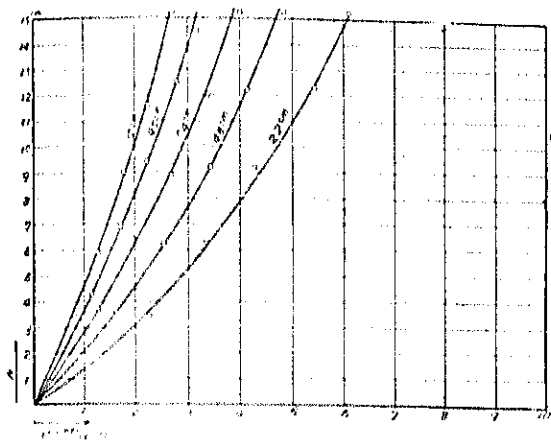
参考資料

- 15-100 (1) 故赤廣博士の應用地震學下就ての講演 三 五十嵐 鹿三 11.26
2-15 * (2) Jenkin の土圧論と其実験 準工 野坂 春忠 12.7
4-30 * (3) 上端に水平力を受ける杭の解法 会工 福田 武雄 12.8
1-8 * (4) 乾燥汚泥用削集機 準工 枝倉 誠道 12.8

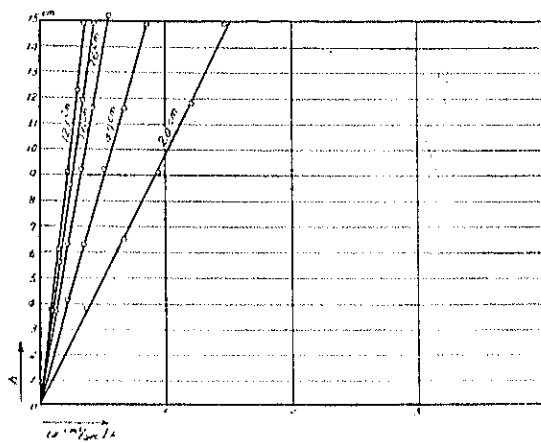
※印は新原稿

附圖第一

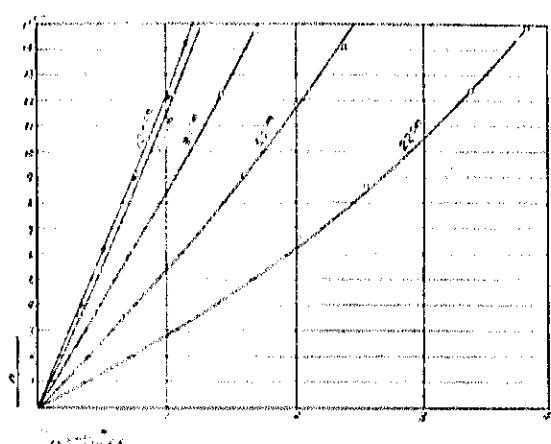
(其一) 砂種 A



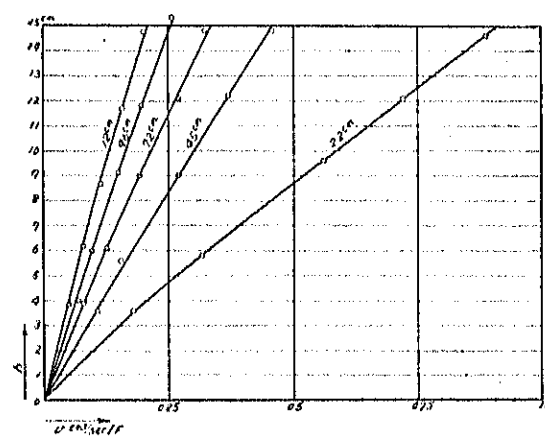
(其四) 砂種 D



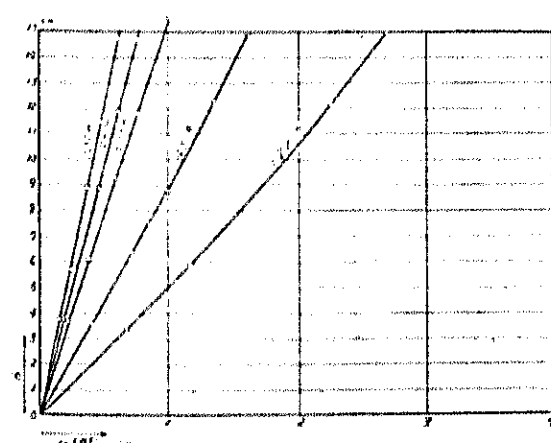
(其二) 砂種 B



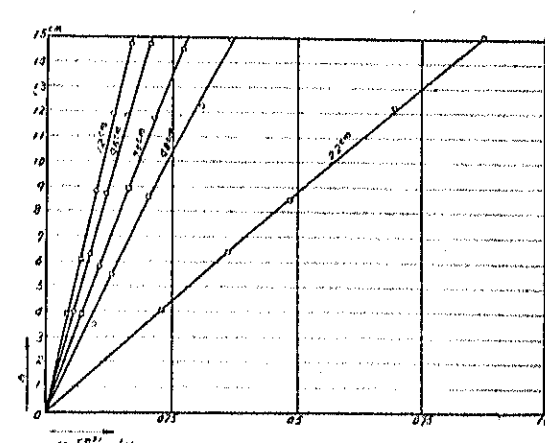
(其五) 砂種 E



(其三) 砂種 C

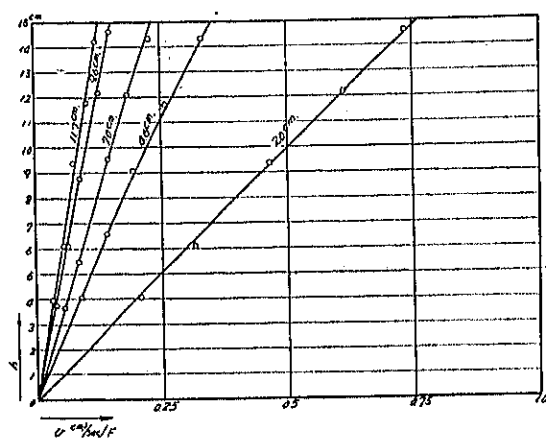


(其六) 砂種 F

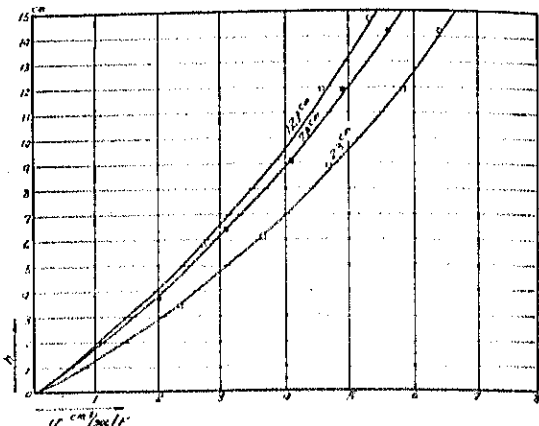


附圖第一

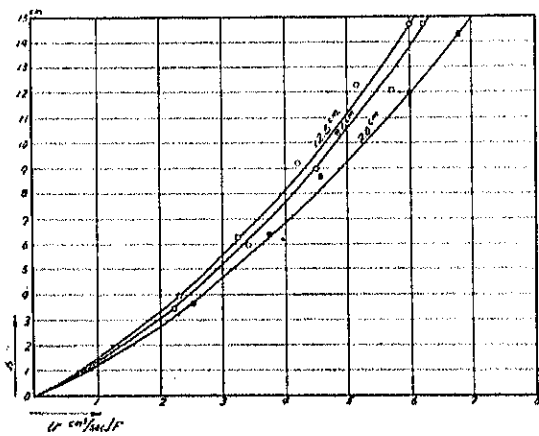
(其七) 砂種 G



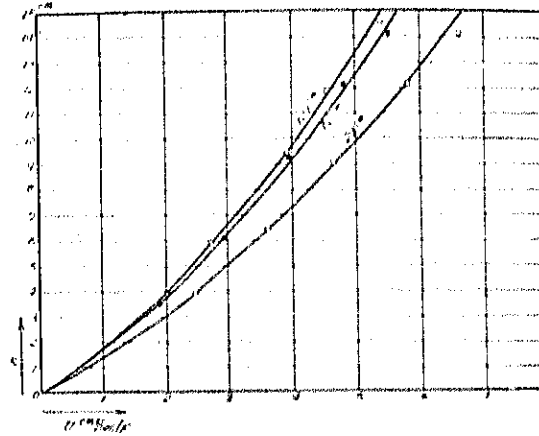
(其十) 第三號散彈 3.45mmφ



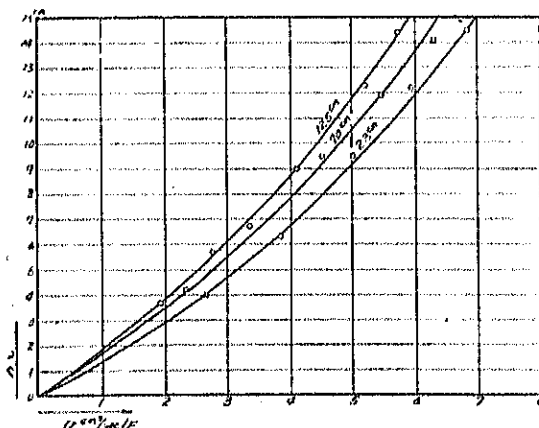
(其八) 第一號散彈 3.7mmφ



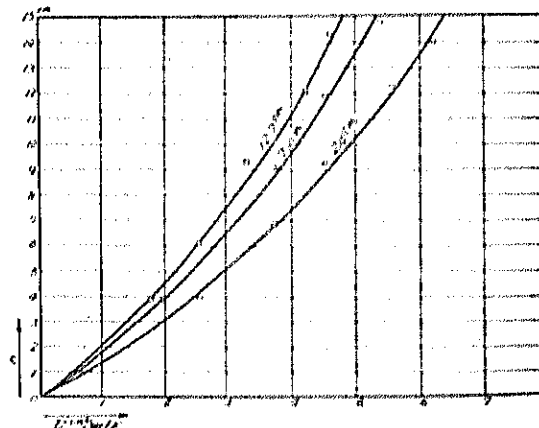
(其十一) 第四號散彈 2.9mmφ



(其九) 第二號散彈 3.6mmφ

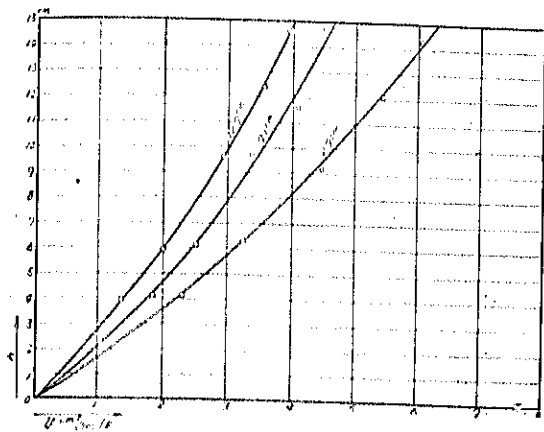


(其十二) 第六號散彈 2.5mmφ



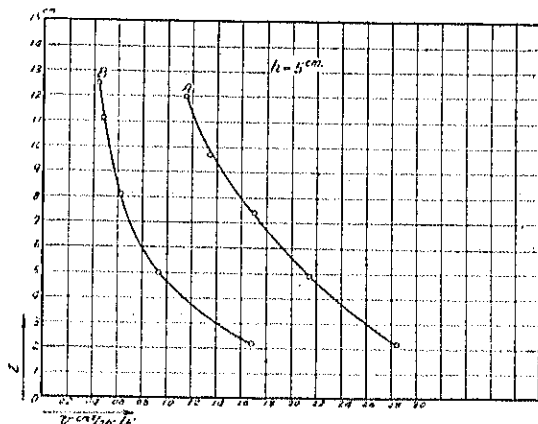
附圖第一

(其十三) 第八號散彈 $2.2mm\phi$

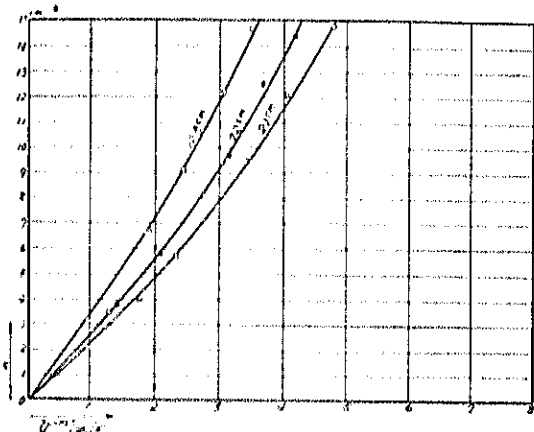


附圖第二

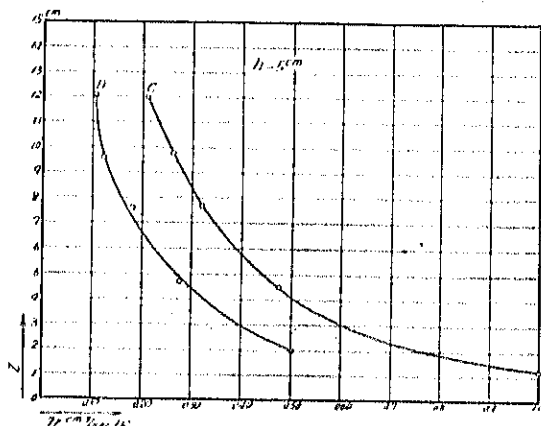
(其一)



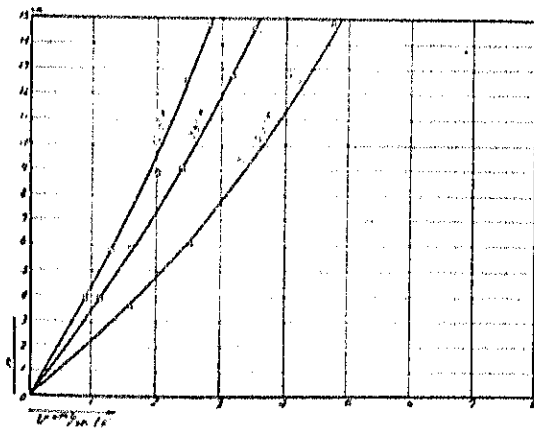
(其十四) 第十號散彈 $1.8mm\phi$



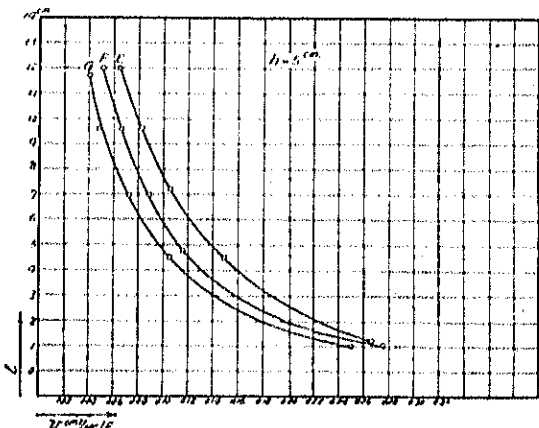
(其二)



(其十五) 第十二號散彈 $1.5mm\phi$

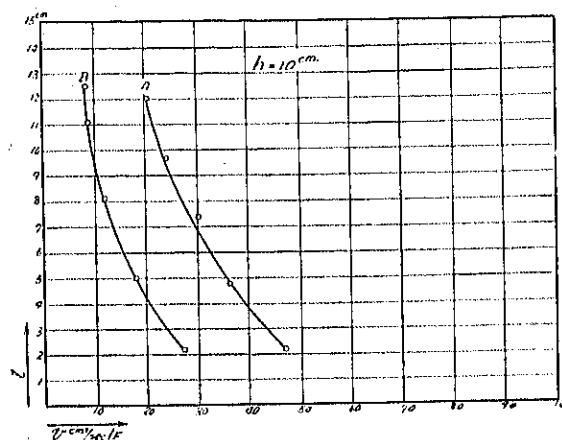


(其三)

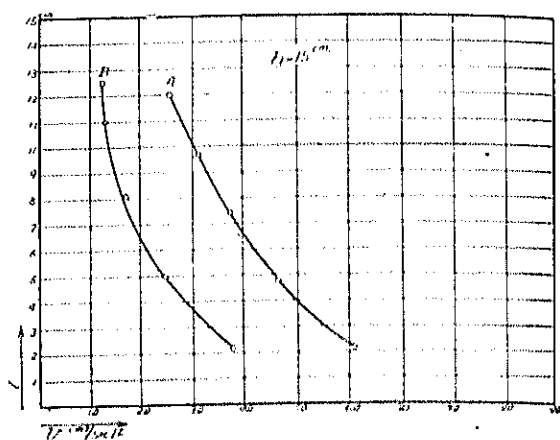


附圖第二

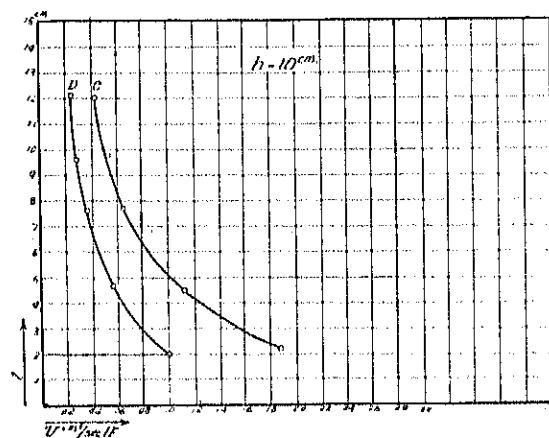
(其四)



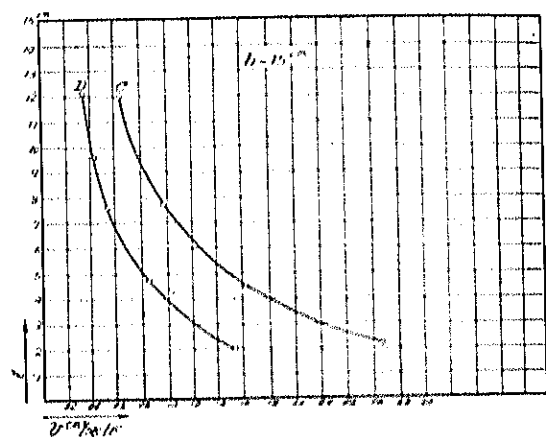
(其七)



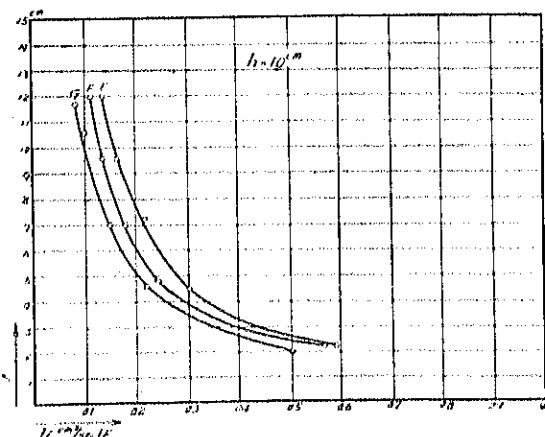
(其五)



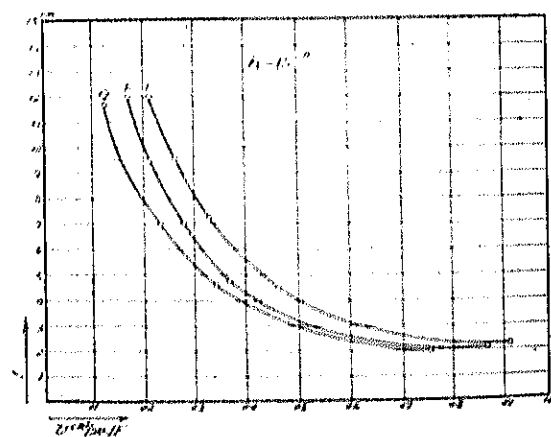
(其八)



(其六)

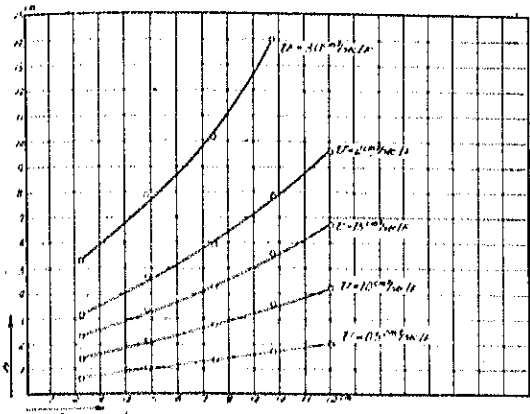


(其九)

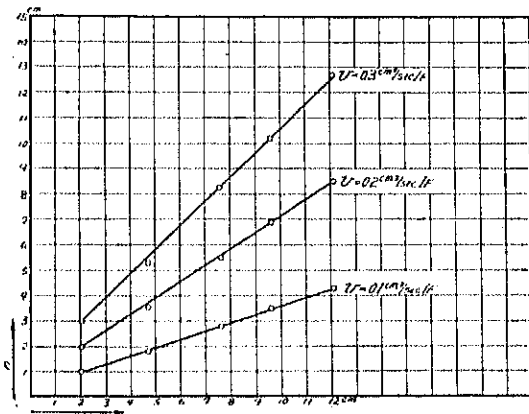


附圖第三

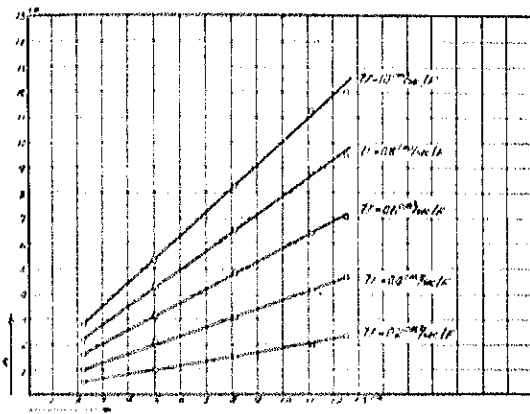
(其一) 砂種 A



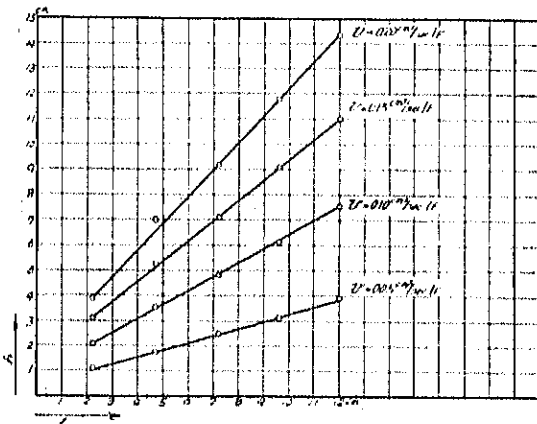
(其四) 砂種 D



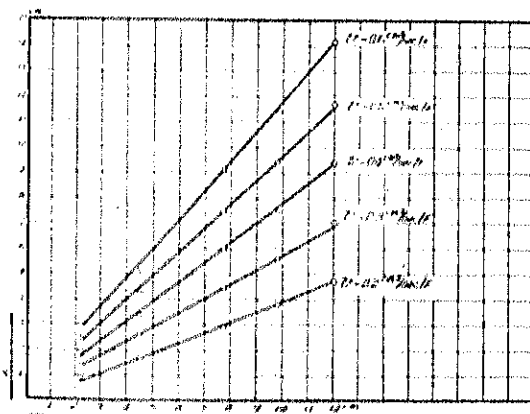
(其二) 砂種 B



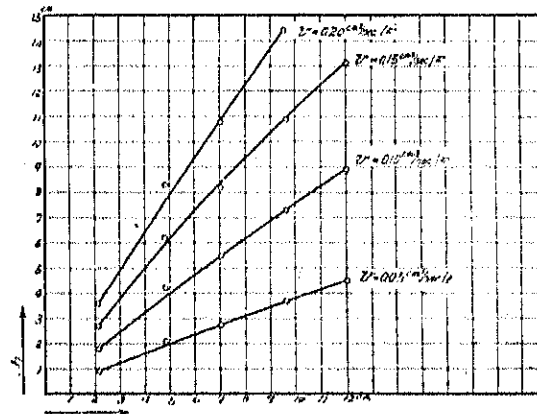
(其五) 砂種 E



(其三) 砂種 C

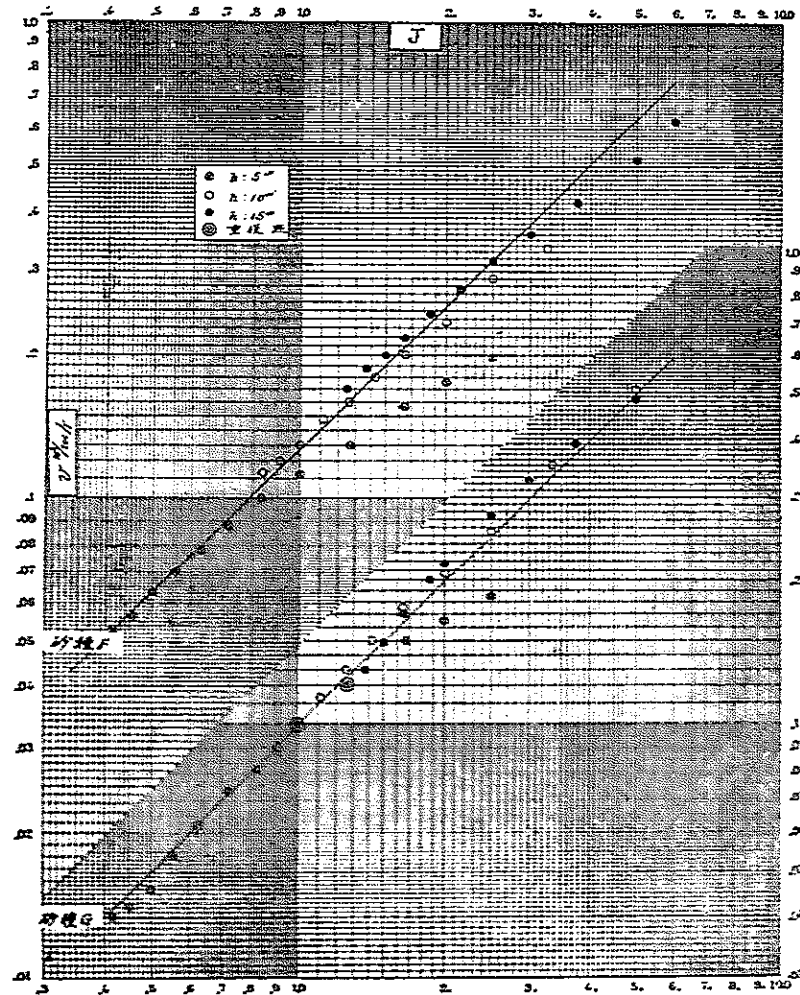


(其六) 砂種 F

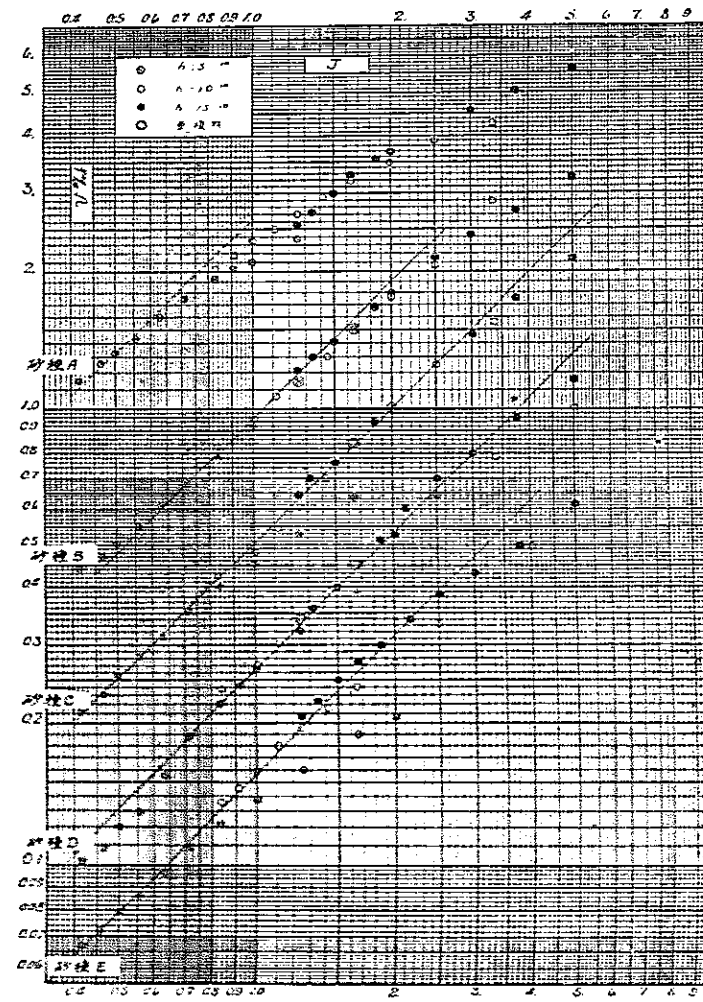


附圖第四

(其一)

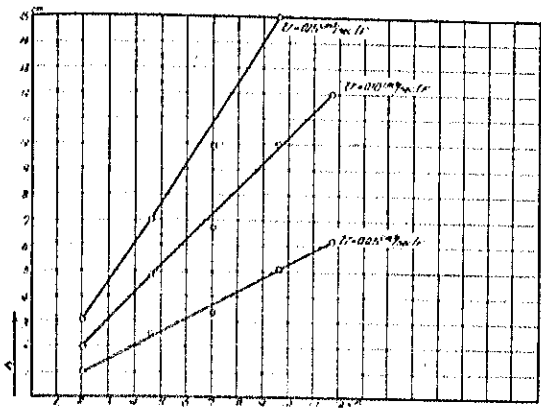


(其二)



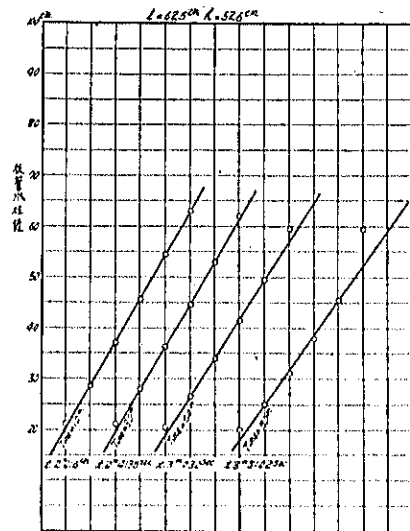
附圖第三

(其七) 砂種 G



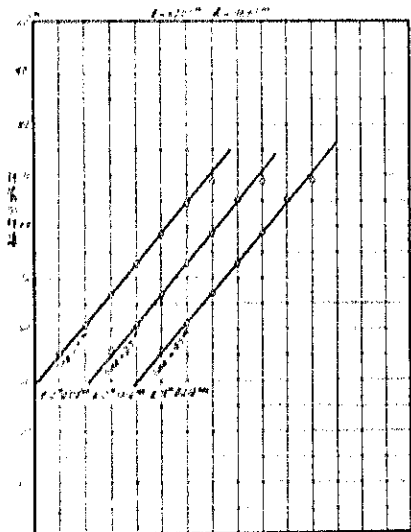
附圖第五

(其一) 砂種 B

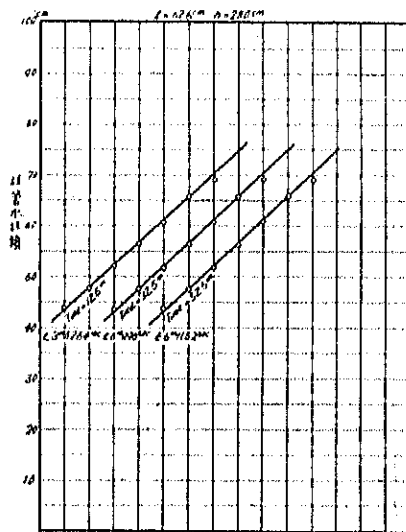


附圖第五

(其二) 砂種 B



(其三) 砂種 B



附圖第六

